

図 1-28(1) ボーリング柱状図 (28QB-1)
(盛土 : 深度 0~17.95m, 旧表土 : 深度 17.95~23.45m)

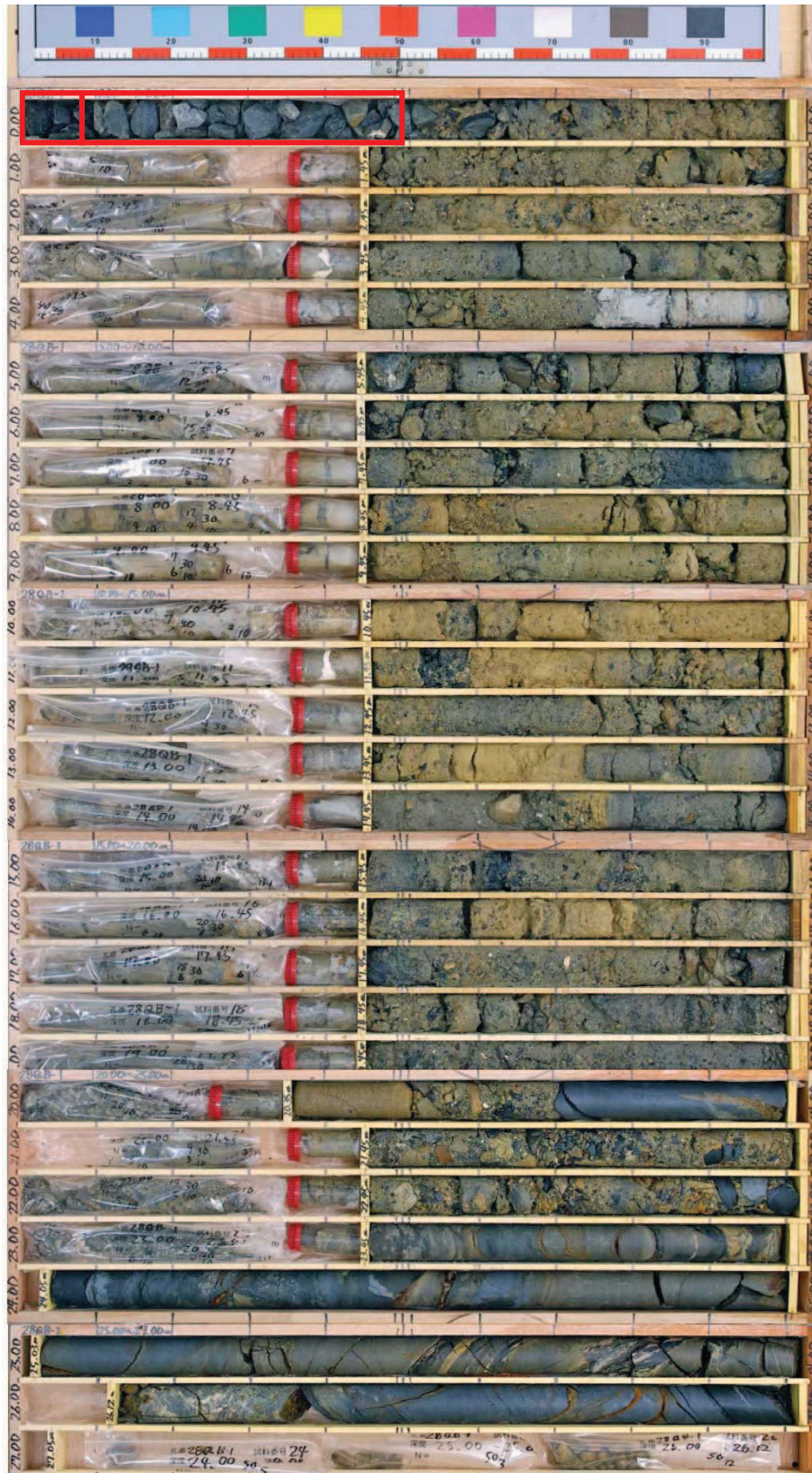


図 1-28 (2) ボーリングコア写真 (28QB-1)
 (盛土 : 深度 0~17.95m, 旧表土 : 深度 17.95~23.45m)

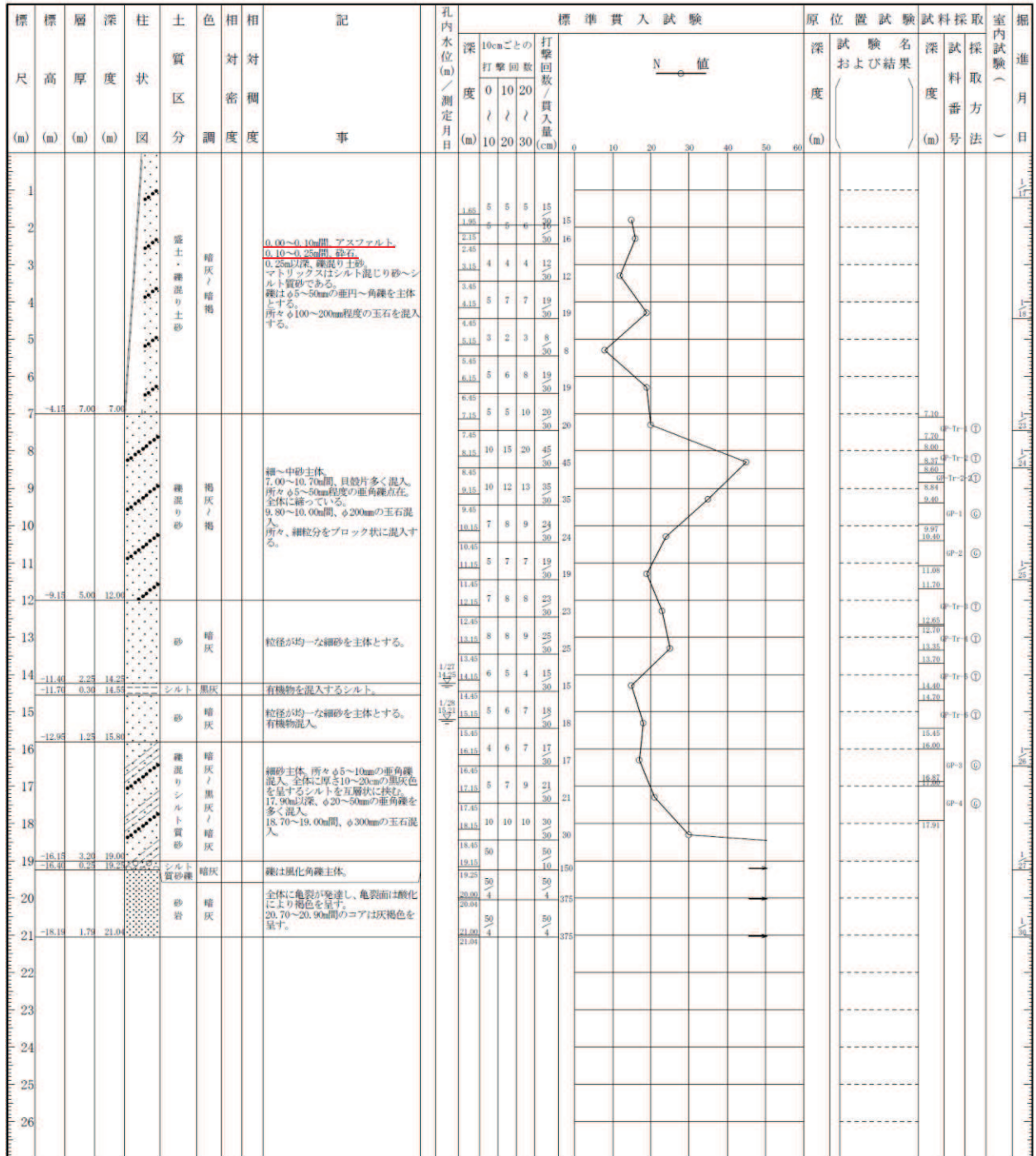


図 1-29(1) ボーリング柱状図 (28QB-2)
(盛土 : 深度 0~7.00m, 旧表土 : 深度 7.00~19.25m)

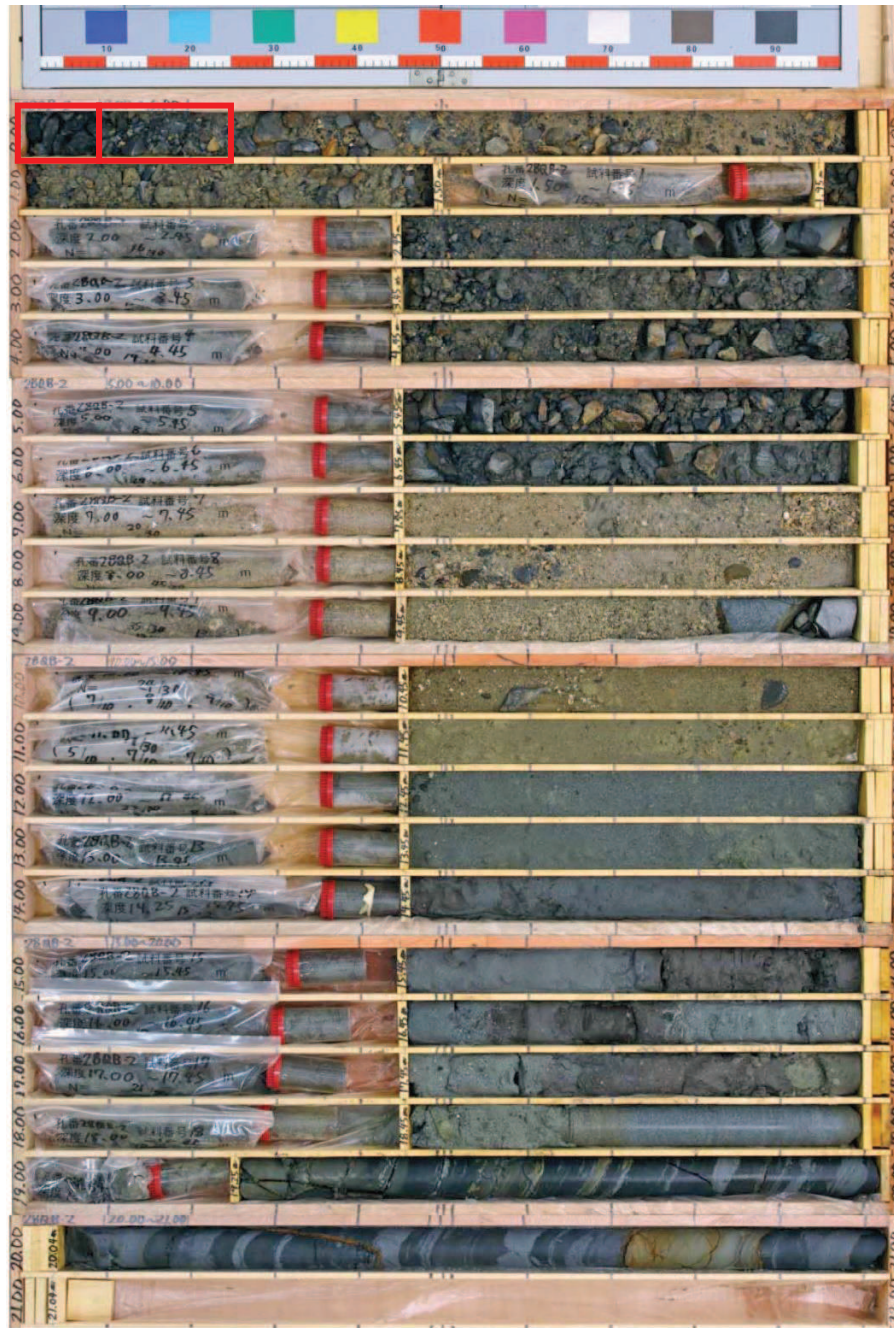


図 1-29(2) ボーリングコア写真 (28QB-2)
 (盛土 : 深度 0~7.00m, 旧表土 : 深度 7.00~19.25m)

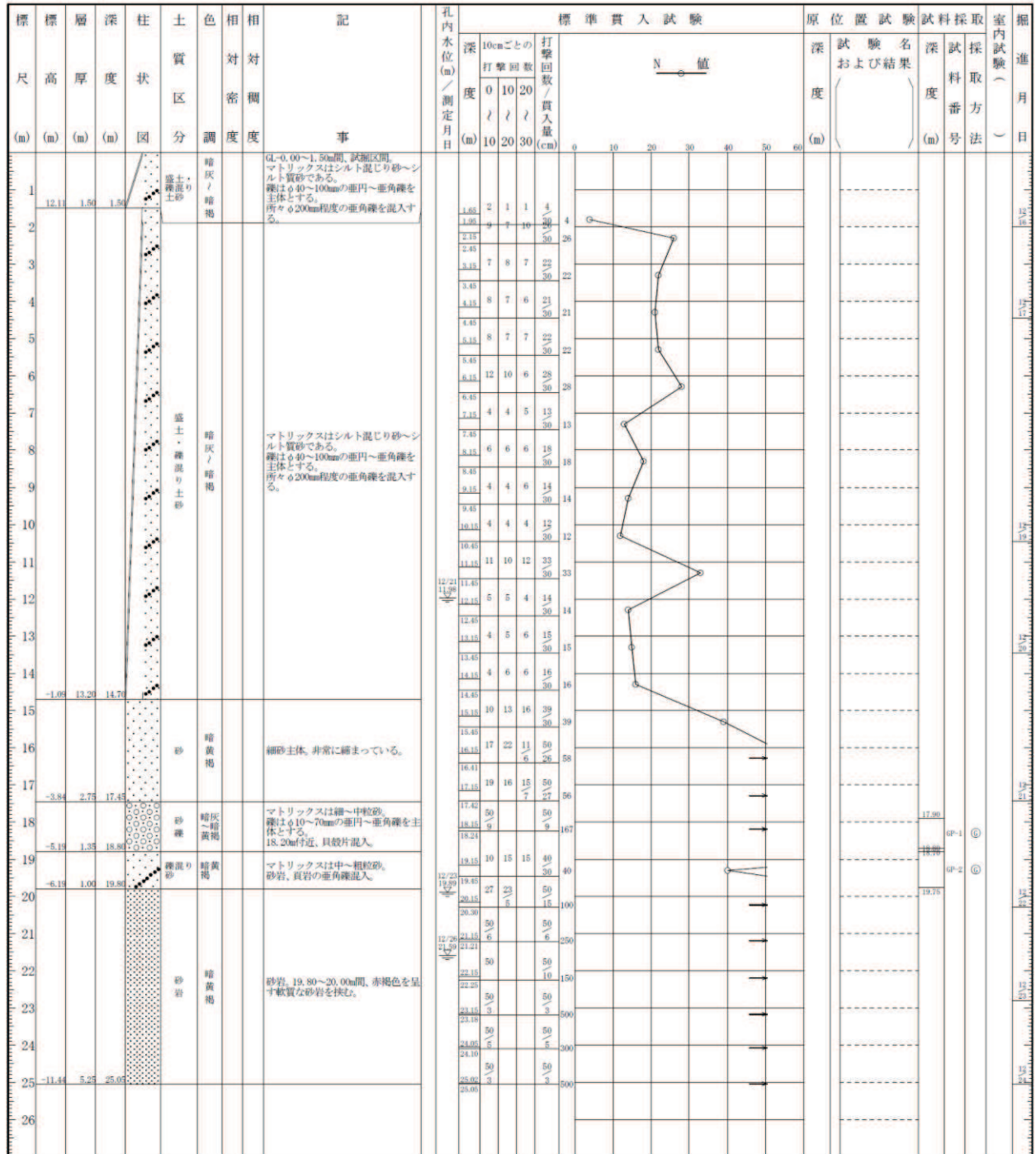


図 1-30(1) ボーリング柱状図 (28QB-3)
(盛土：深度 0~14.70m, 旧表土：深度 14.70~19.80m)

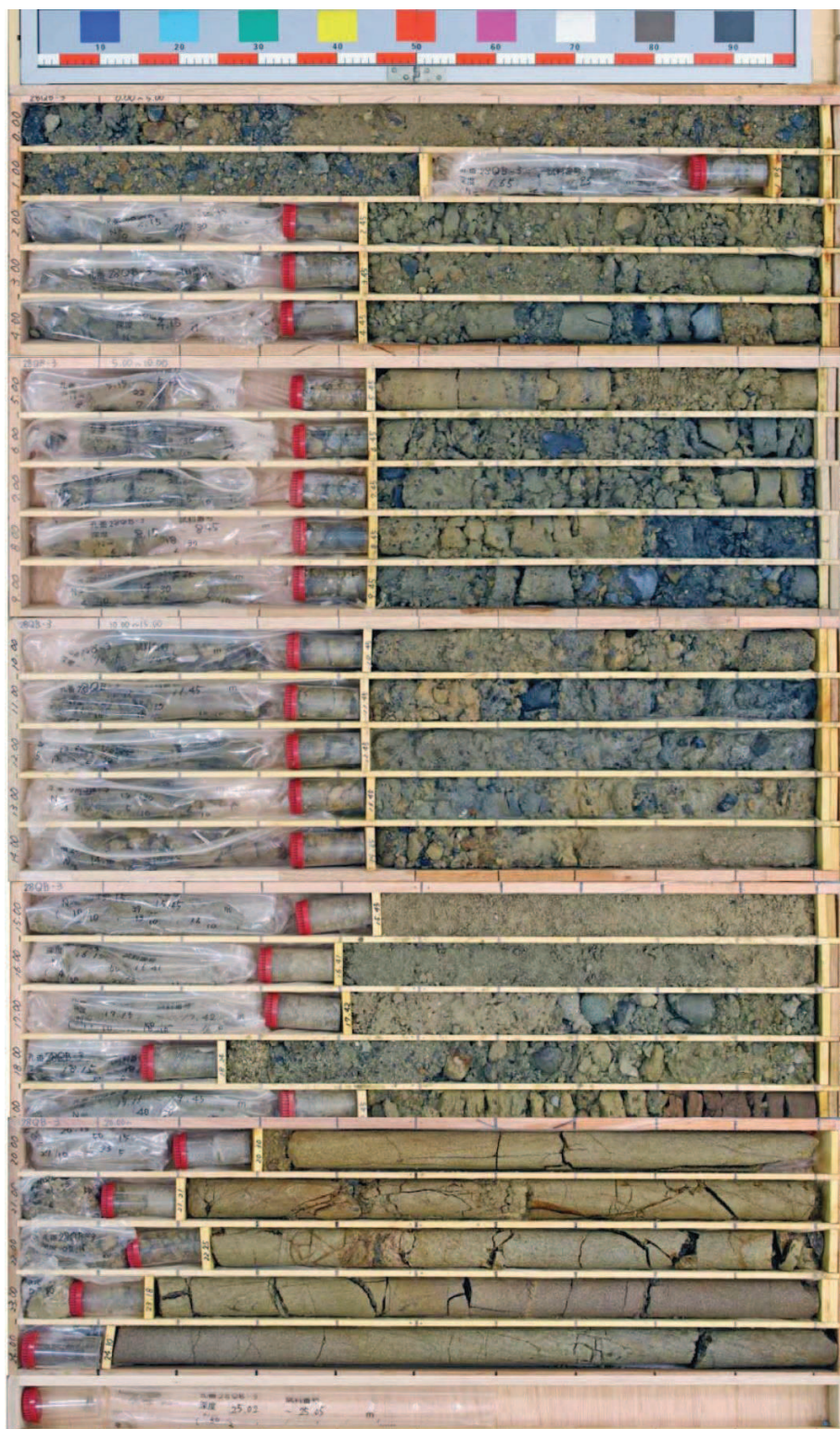


図 1-30(2) ボーリングコア写真 (28QB-3)
(盛土：深度 0～14.70m, 旧表土：深度 14.70～19.80m)

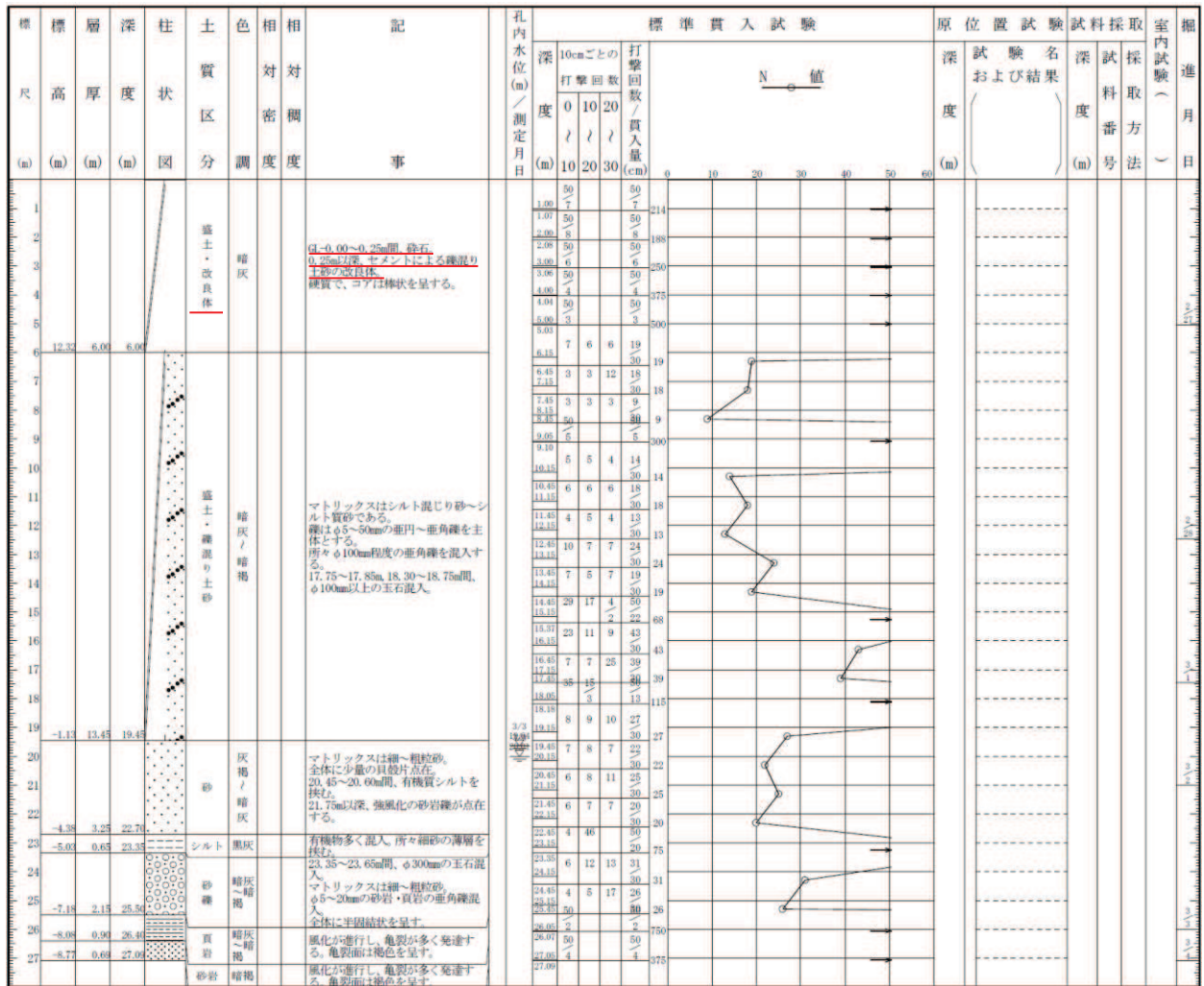


図 1-31(1) ボーリング柱状図 (28QB-4-1)
(盛土：深度 0~19.45m, 旧表土：深度 19.45~25.50m)



図 1-31(2) ボーリングコア写真 (28QB-4-1)
 (盛土 : 深度 0~19.45m, 旧表土 : 深度 19.45~25.50m)

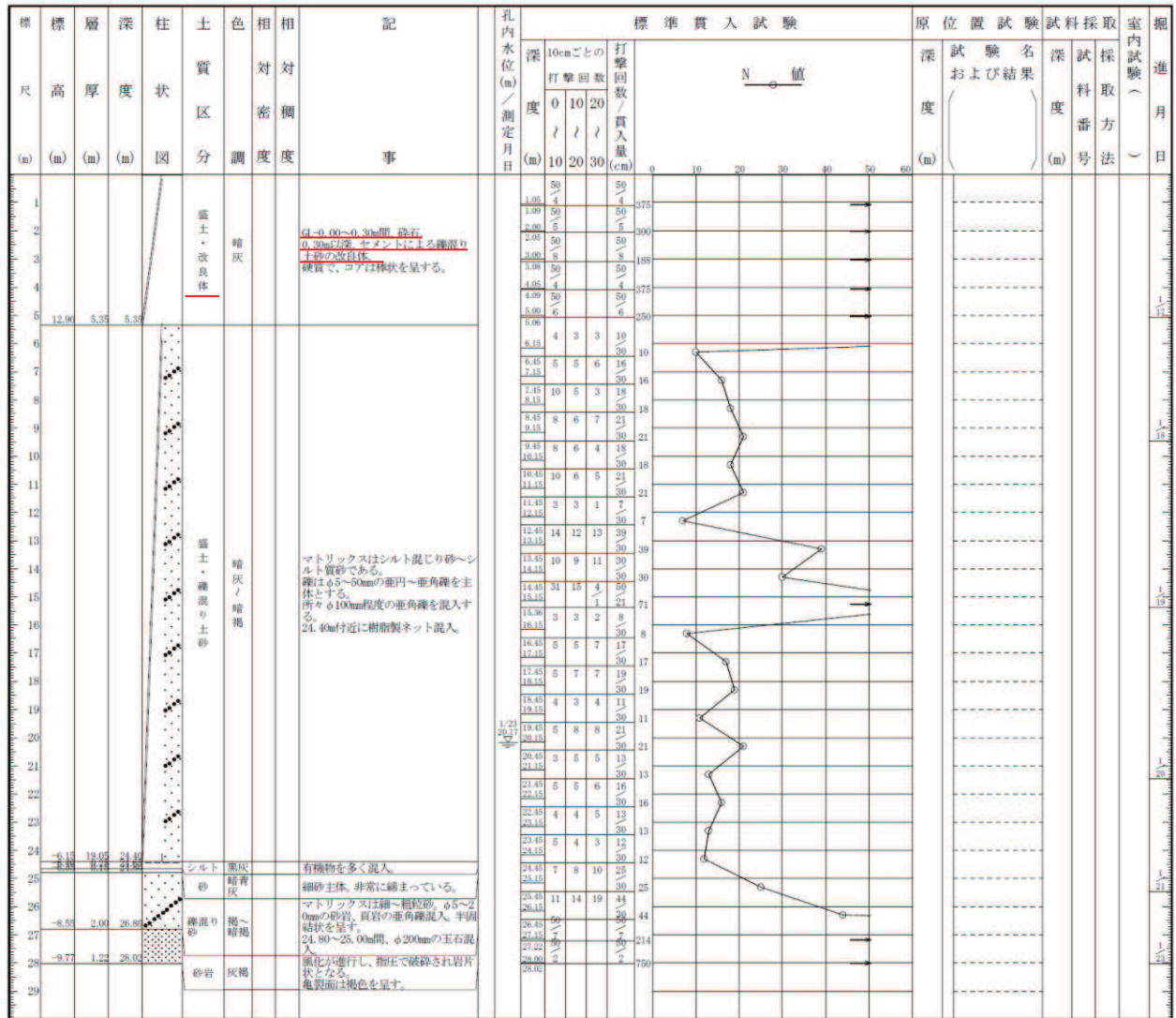


図 1-32(1) ボーリング柱状図 (28QB-4)
 (盛土：深度 0~24.40m, 旧表土：深度 24.40~26.80m)



図 1-32(2) ボーリングコア写真 (28QB-4)
 (盛土：深度 0～24.40m, 旧表土：深度 24.40～26.80m)

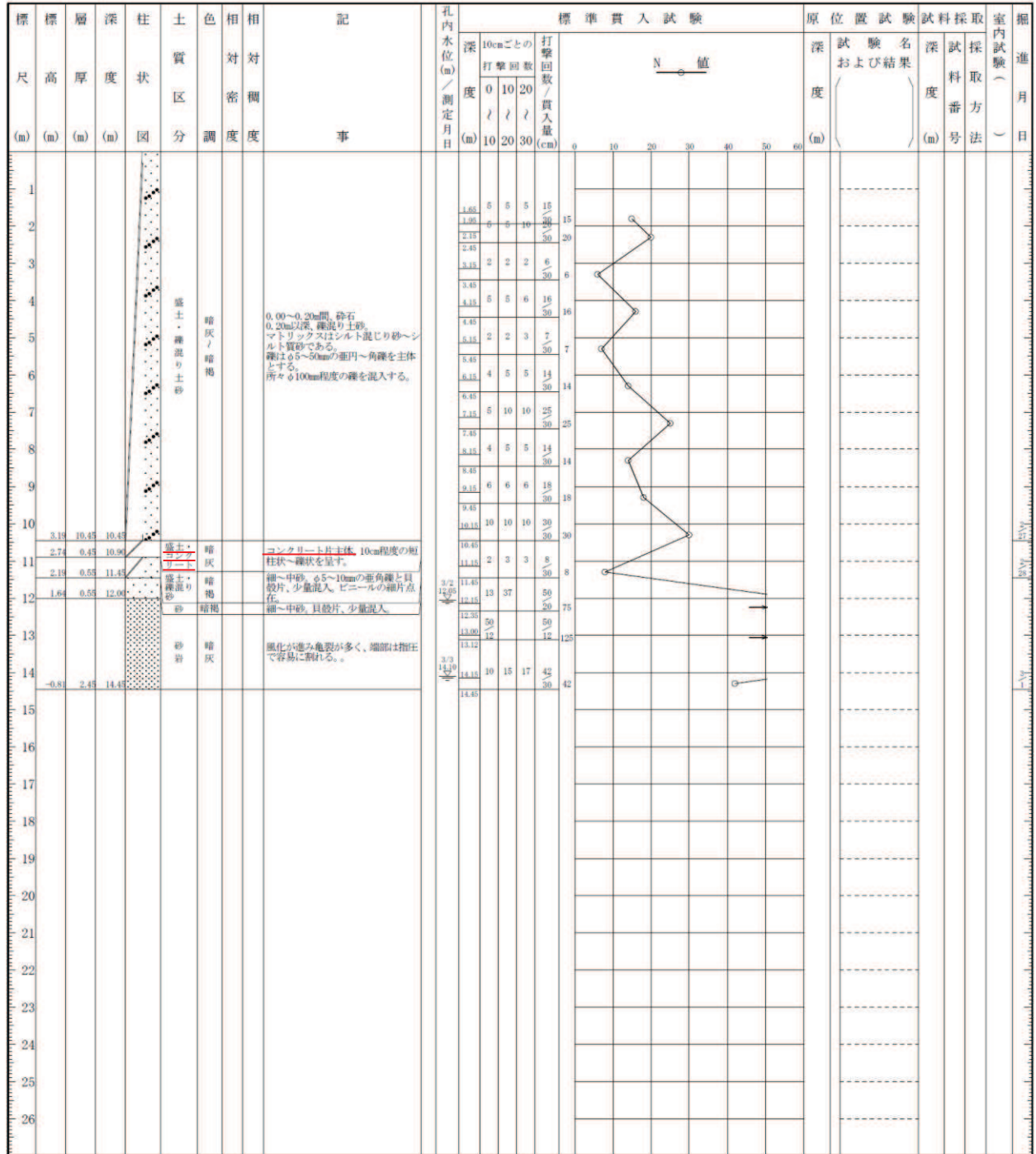


図 1-33(1) ボーリング柱状図 (28QB-5)
 (盛土：深度 0~11.45m, 旧表土：深度 11.45~12.00m)



図 1-33(2) ボーリングコア写真 (28QB-5)
 (盛土 : 深度 0~11.45m, 旧表土 : 深度 11.45~12.00m)

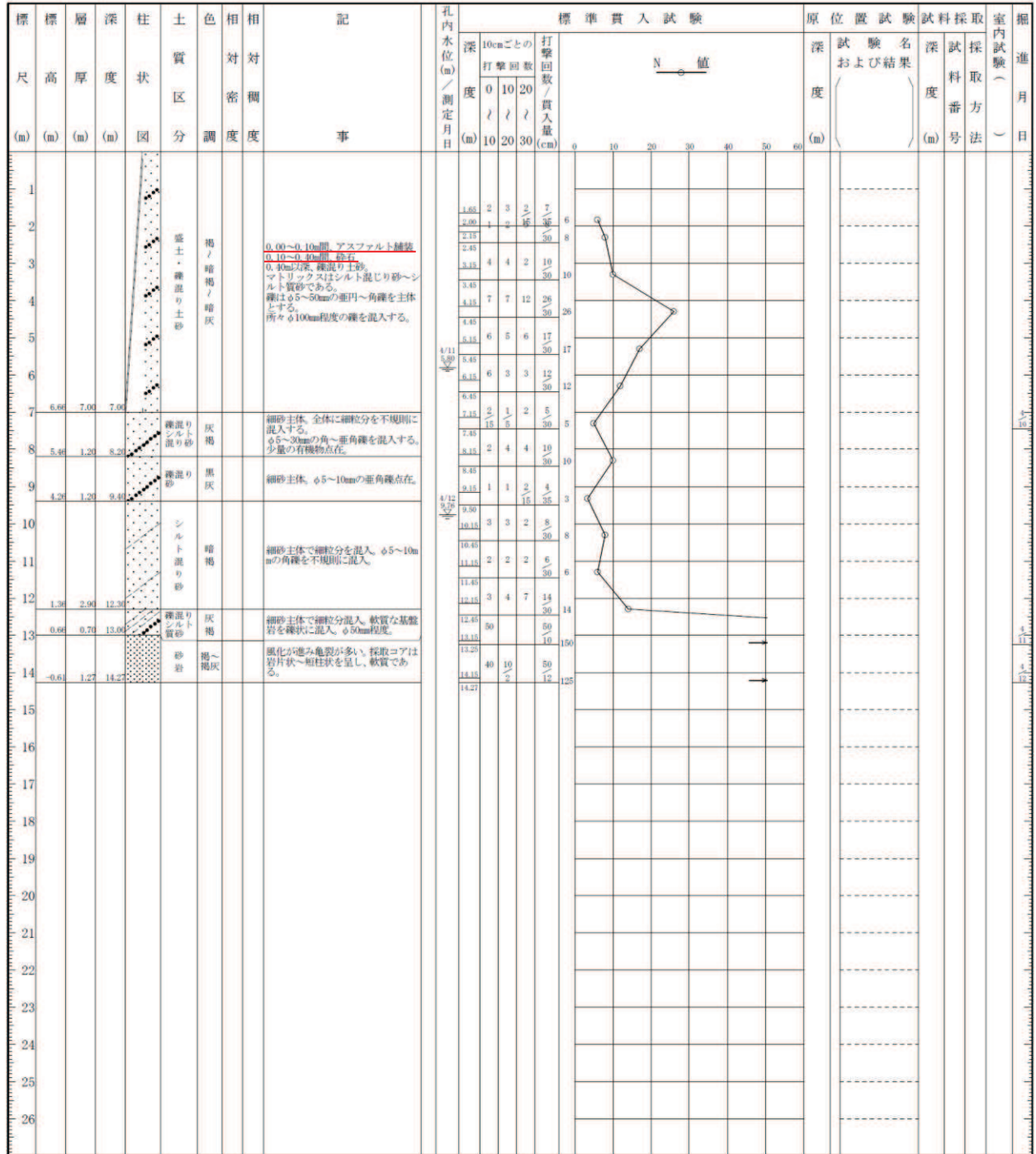


図 1-34(1) ボーリング柱状図 (28QB-5-1)
 (盛土：深度 0~7.00m, 旧表土：深度 7.00~13.00m)

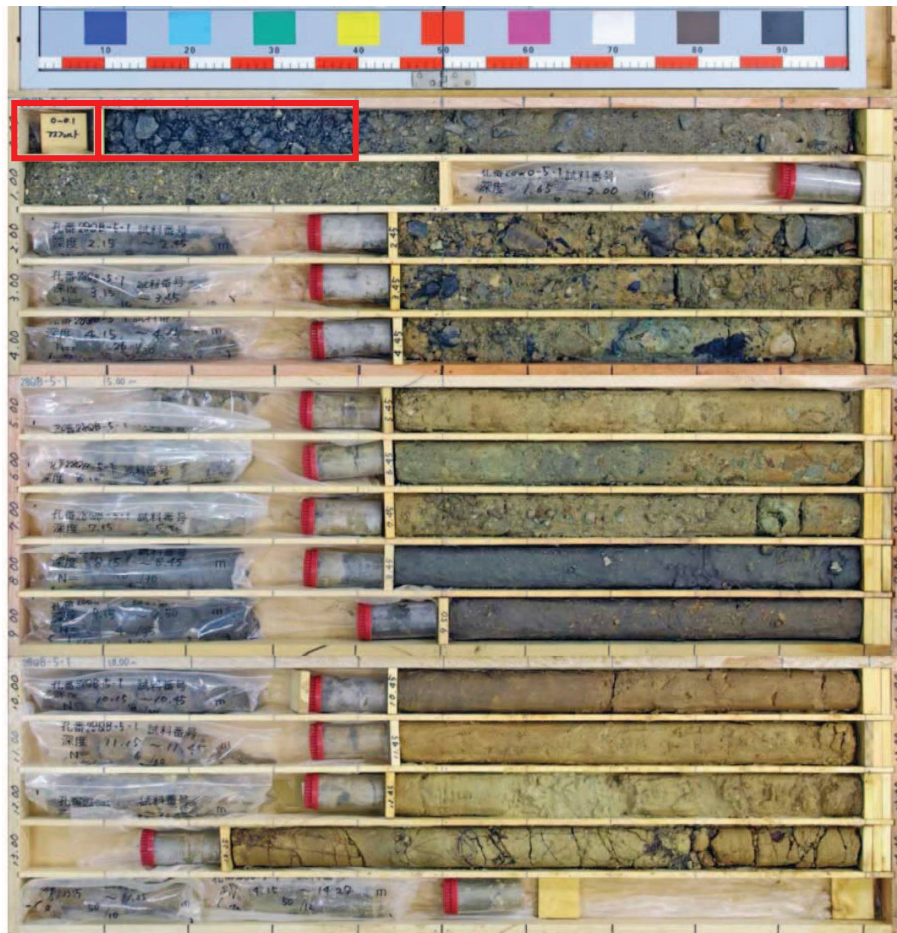


図 1-34(2) ボーリングコア写真 (28QB-5-1)
 (盛土 : 深度 0~7.00m, 旧表土 : 深度 7.00~13.00m)

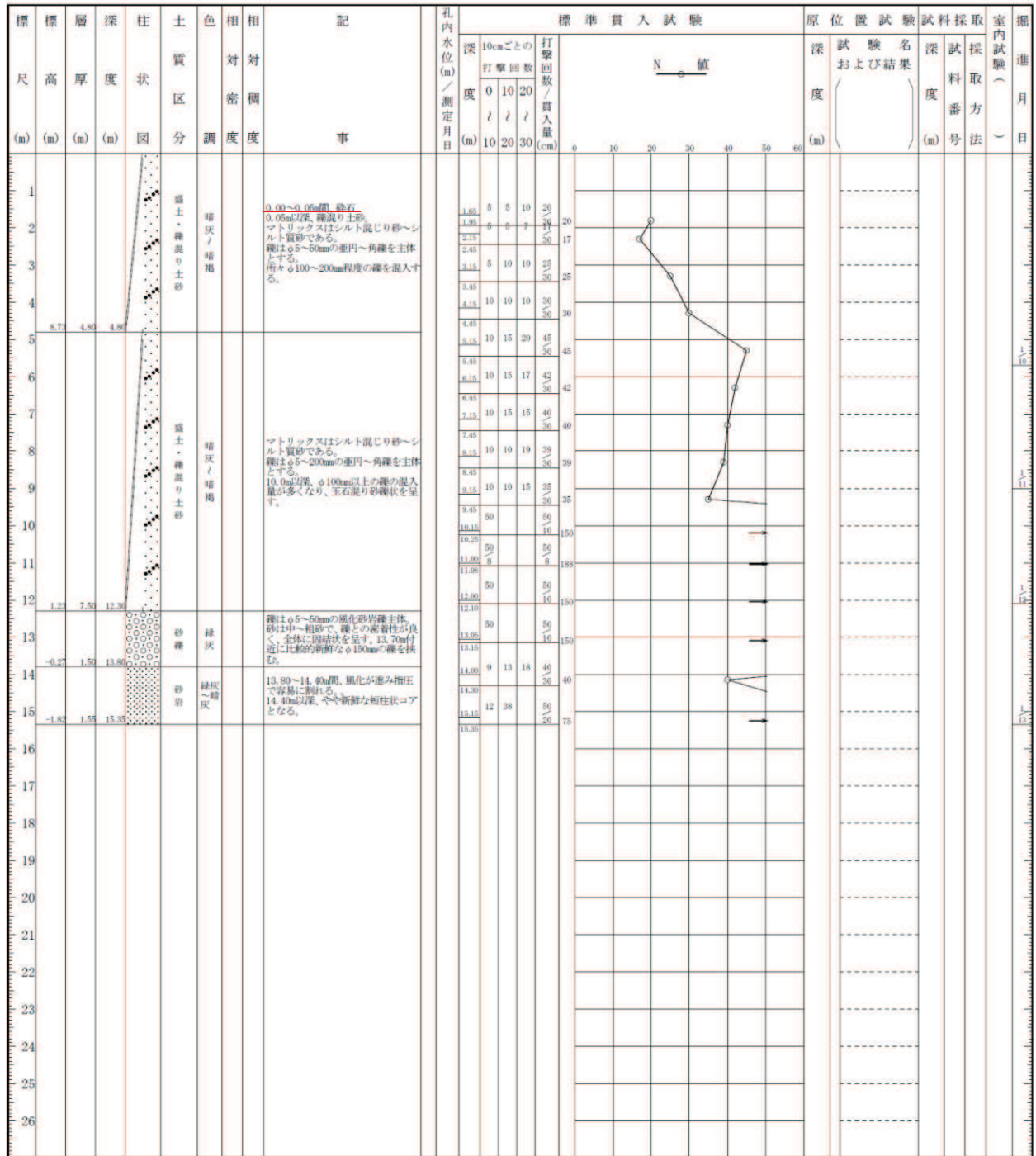


図 1-35(1) ボーリング柱状図 (28QB-6)
 (盛土：深度 0~12.30m, 旧表土：深度 12.30~13.80m)

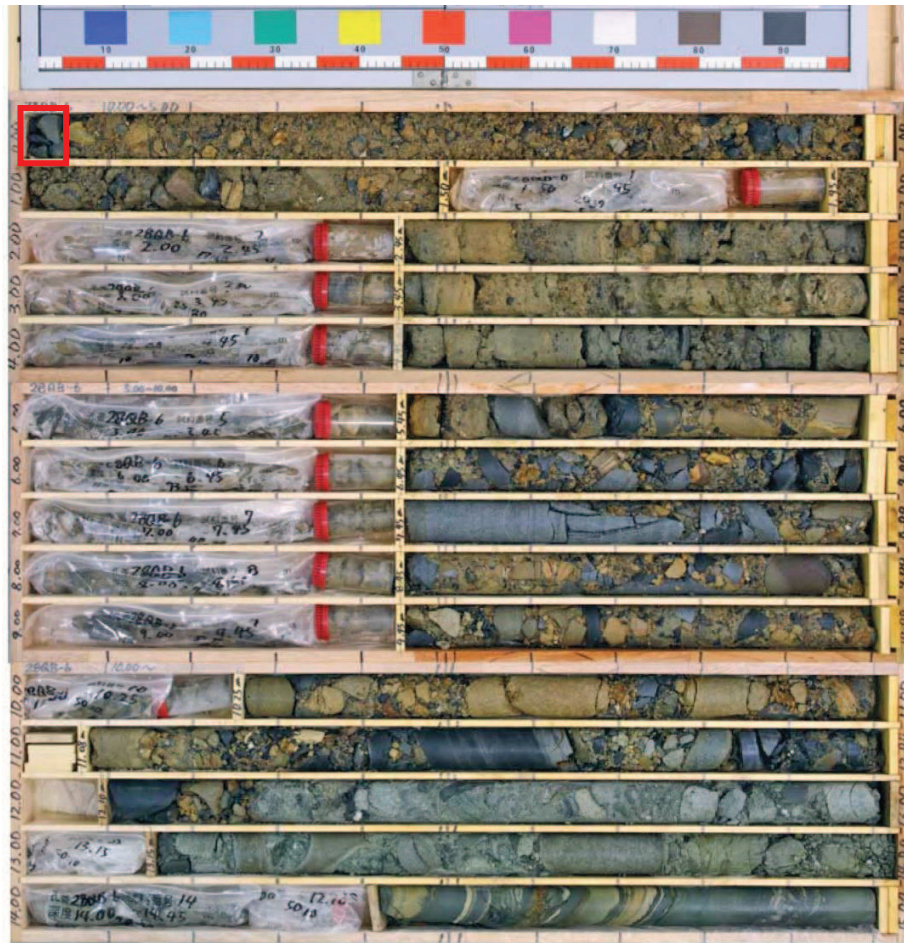


図 1-35 (2) ボーリングコア写真 (28QB-6)
(盛土 : 深度 0~12.30m, 旧表土 : 深度 12.30~13.80m)

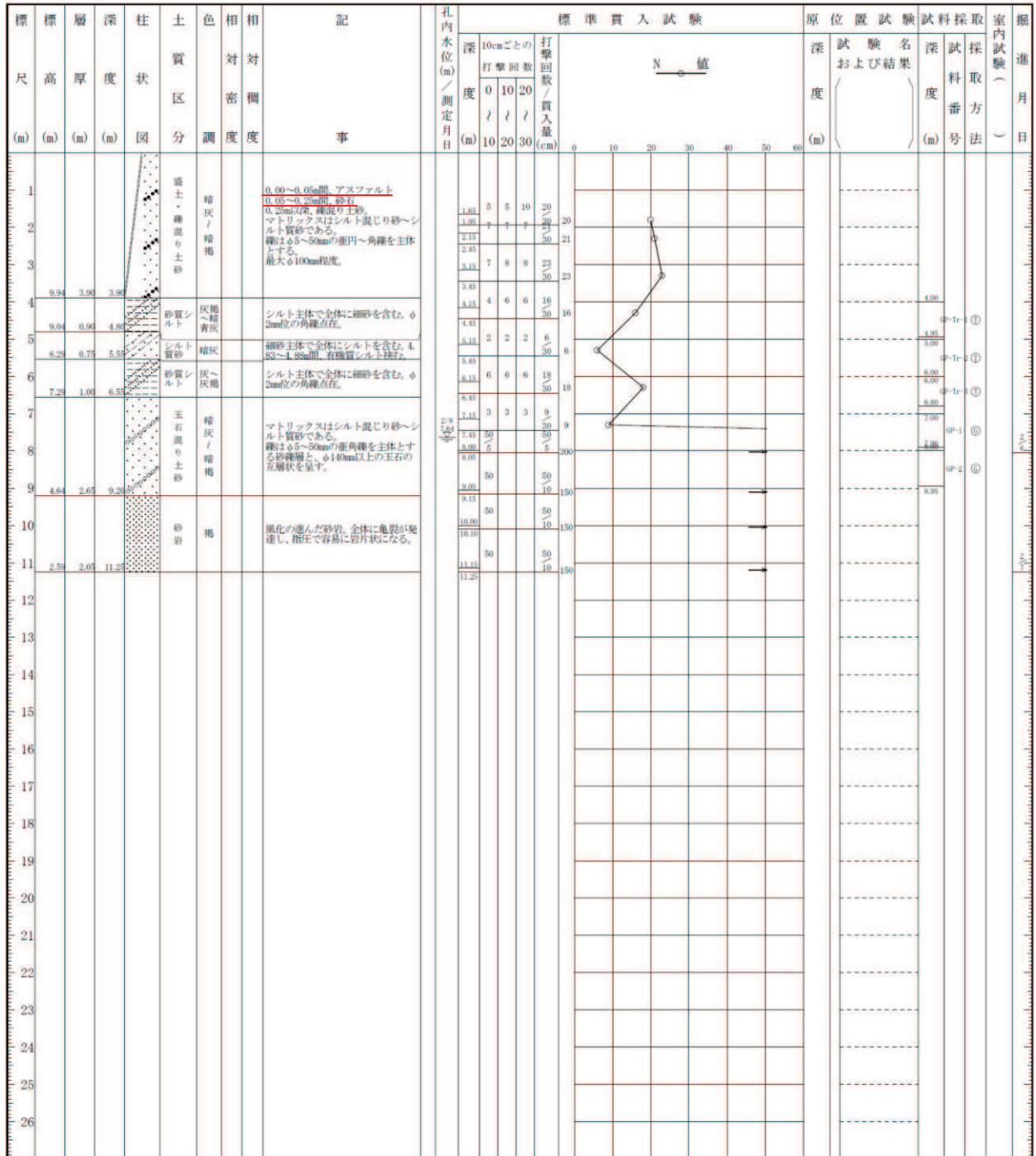


図 1-36(1) ボーリング柱状図 (28QB-7)
(盛土：深度 0~3.90m, 旧表土：深度 3.90~9.20m)

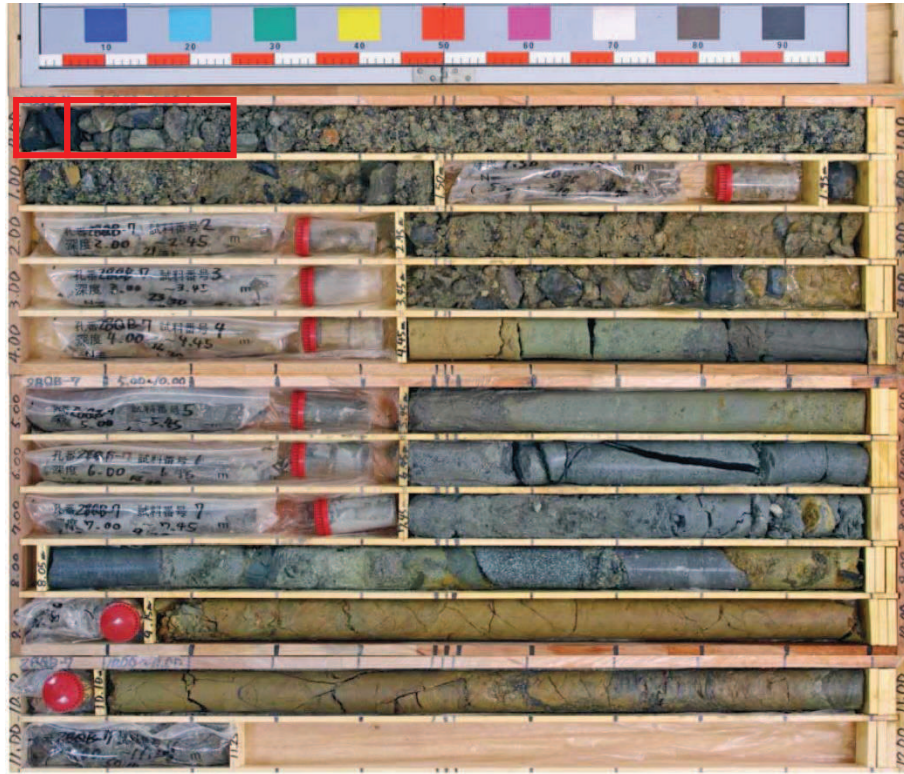


図 1-36(2) ボーリングコア写真 (28QB-7)
(盛土：深度 0～3.90m, 旧表土：深度 3.90～9.20m)

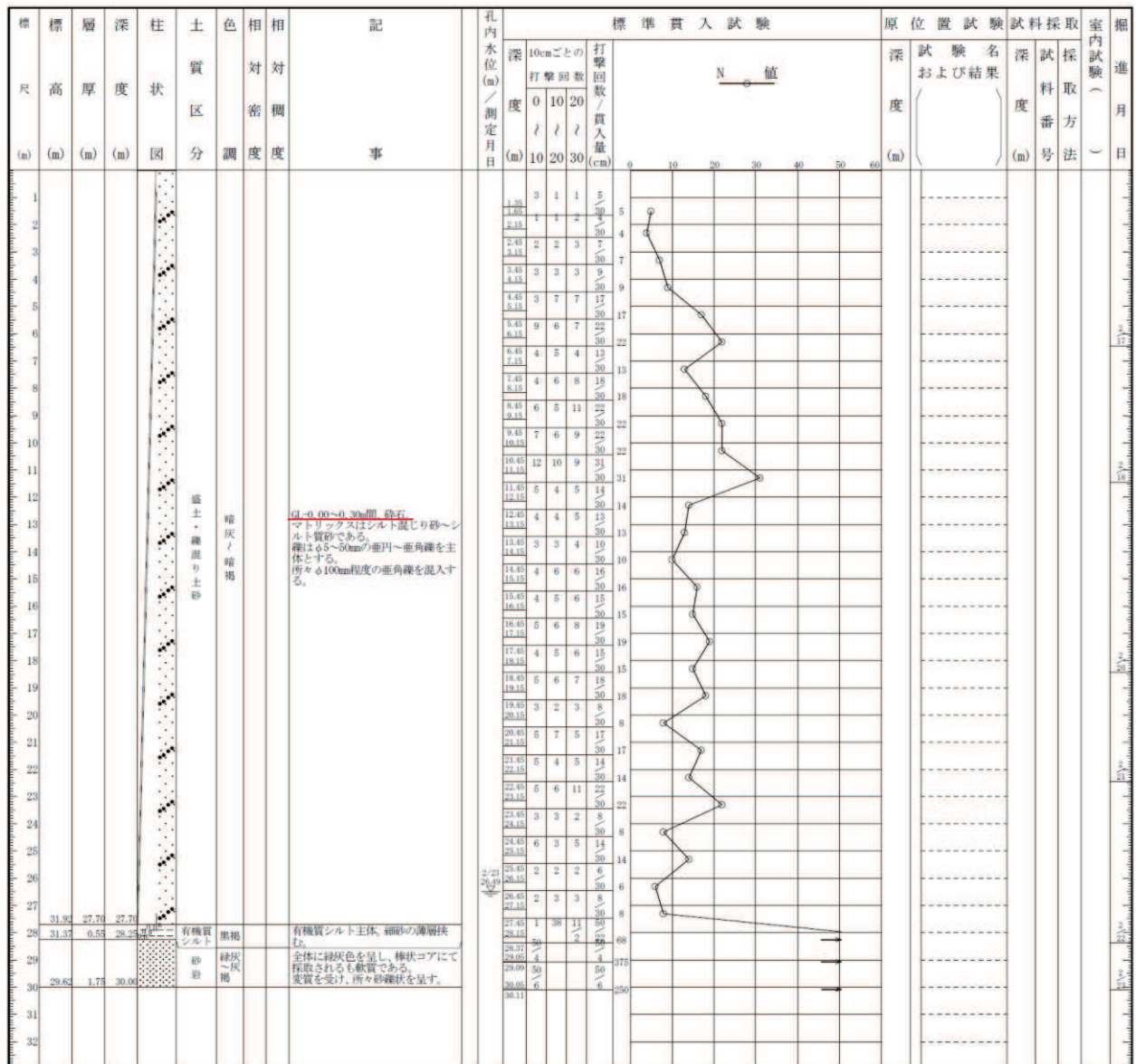


図 1-37(1) ボーリング柱状図 (28QB-8)
(盛土 : 深度 0~27.70m, 旧表土 : 深度 27.70~28.25m)

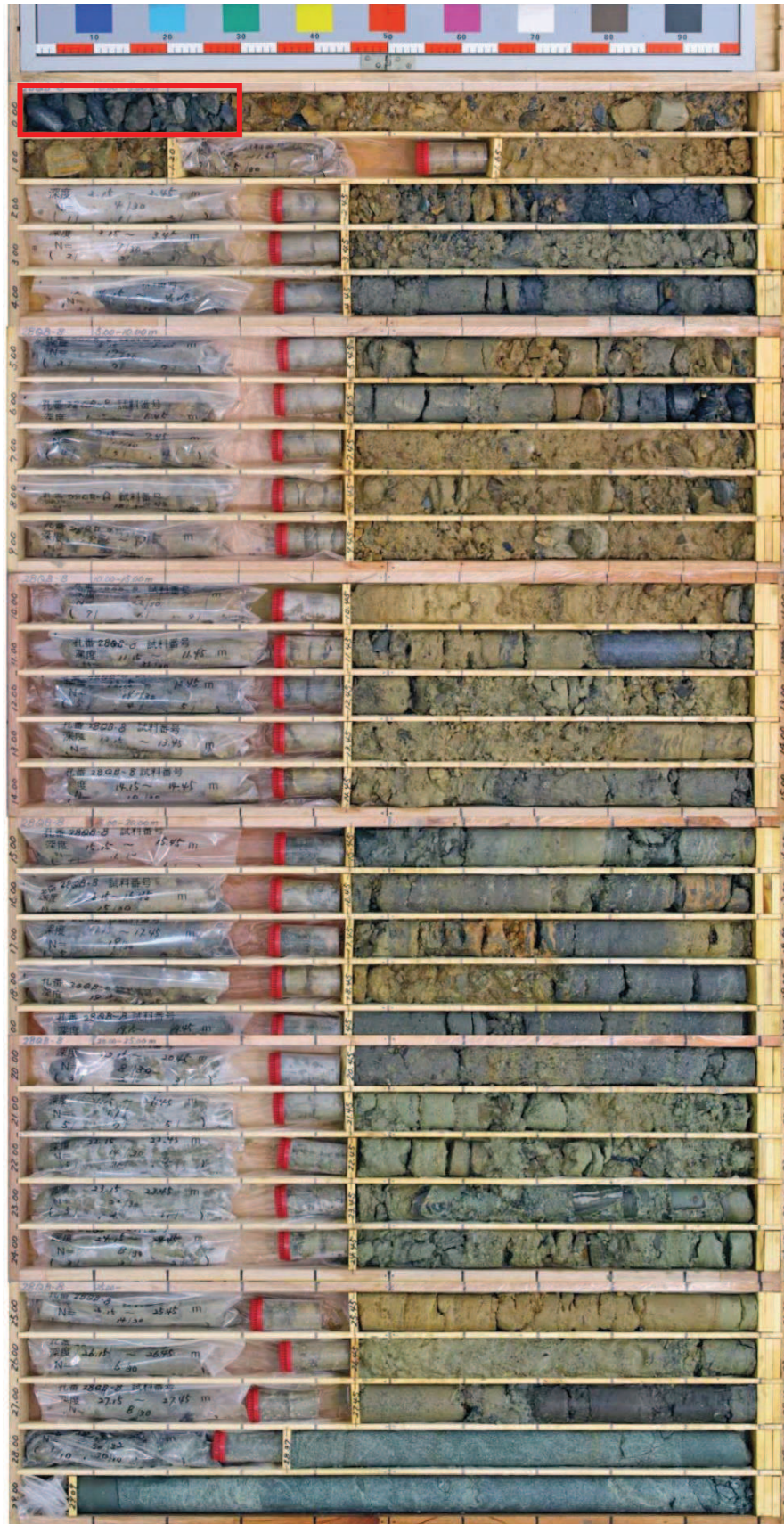


図 1-37(2) ボーリングコア写真 (28QB-8)
 (盛土：深度 0～27.70m, 旧表土：深度 27.70～28.25m)

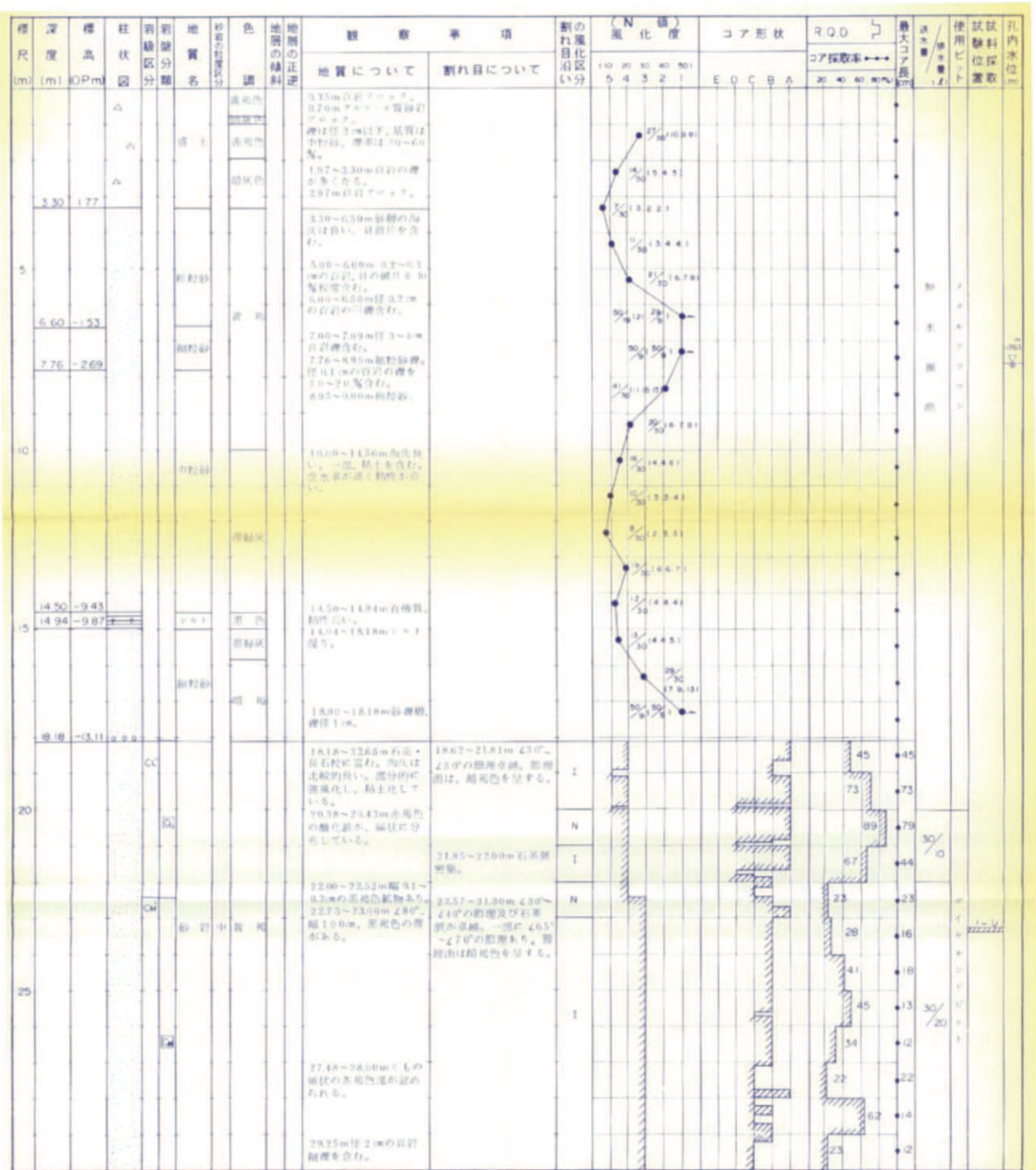


図 1-38(1) ボーリング柱状図 (P-3)
 (盛土: 深度 0~3.30m, 旧表土: 深度 3.30~18.18m)



図 1-38(2) ボーリングコア写真 (P-3)
 (盛土 : 深度 0~3.30m, 旧表土 : 深度 3.30~18.18m)

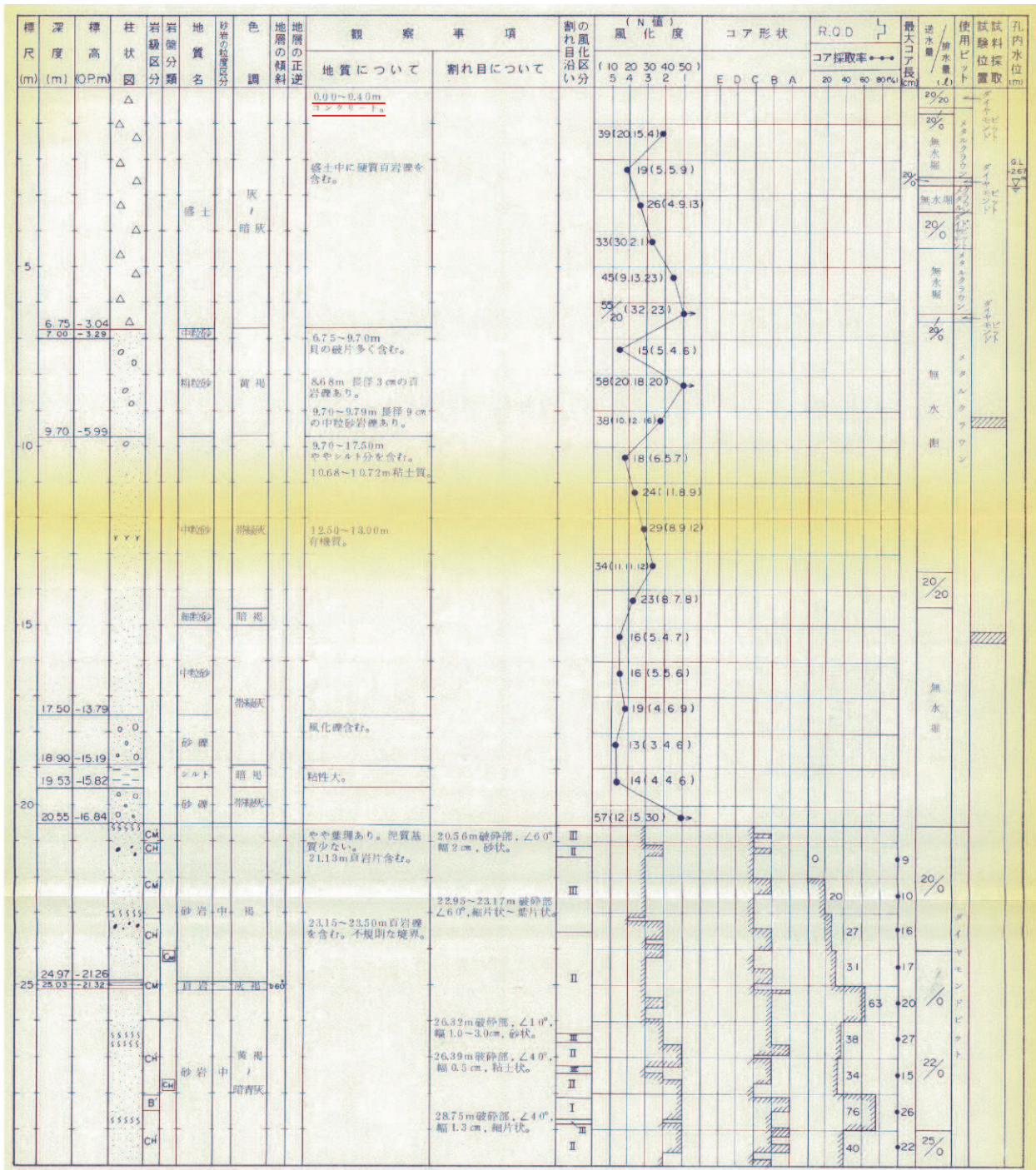


図 1-39(1) ボーリング柱状図 (P-6)
 (盛土 : 深度 0~6.75m, 旧表土 : 深度 6.75~20.55m)



図 1-39(2) ボーリングコア写真 (P-6)
 (盛土：深度 0～6.75m, 旧表土：深度 6.75～20.55m)

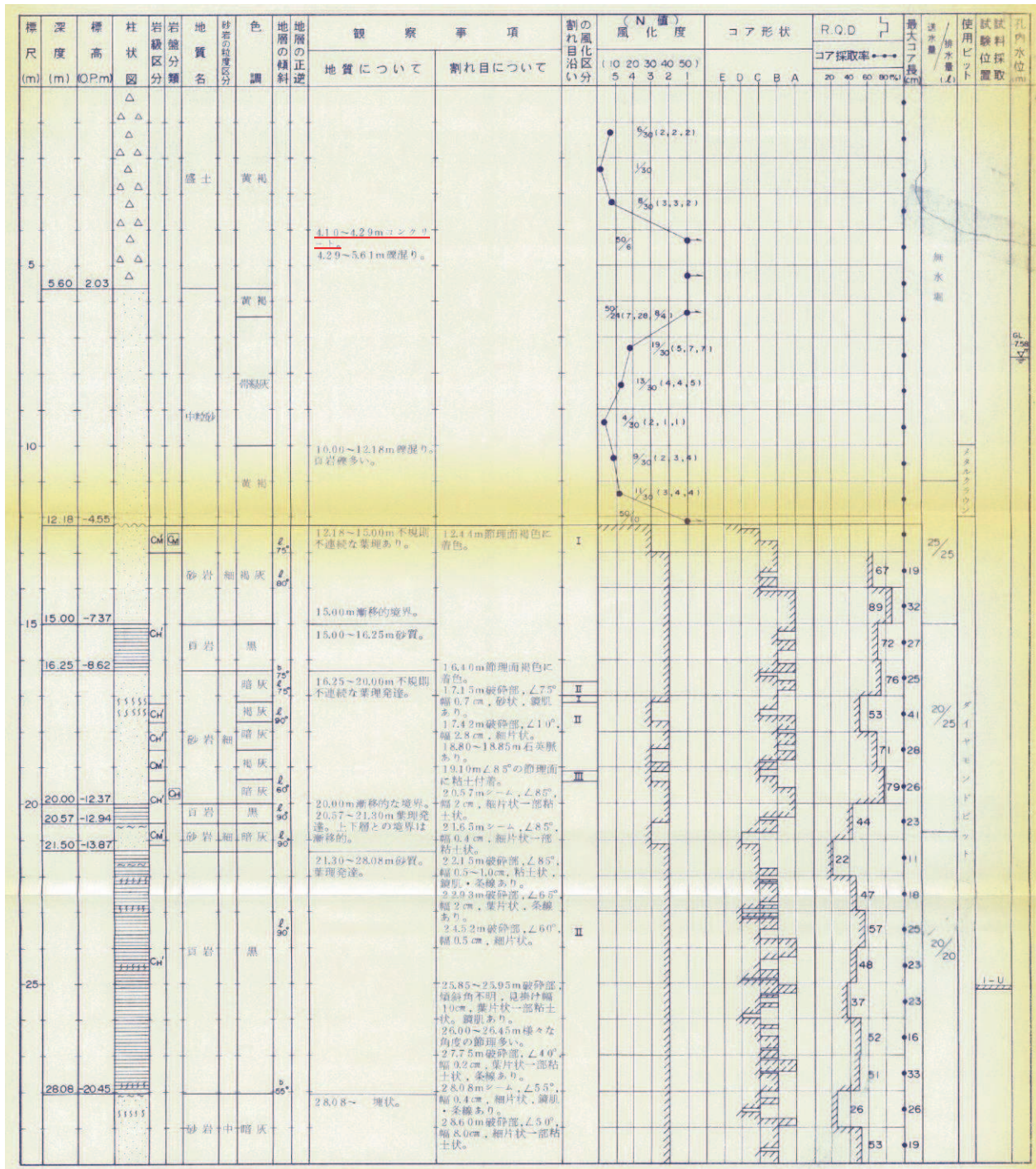


図 1-40(1) ボーリング柱状図 (SP-2)
(盛土 : 深度 0~5.60m, 旧表土 : 深度 5.60~12.18m)



図 1-40(2) ボーリングコア写真 (SP-2)
(盛土：深度 0～5.60m, 旧表土：深度 5.60～12.18m)



図 1-41(2) ボーリングコア写真 (Fs-1) (旧表土 : 深度 0~13.65m)

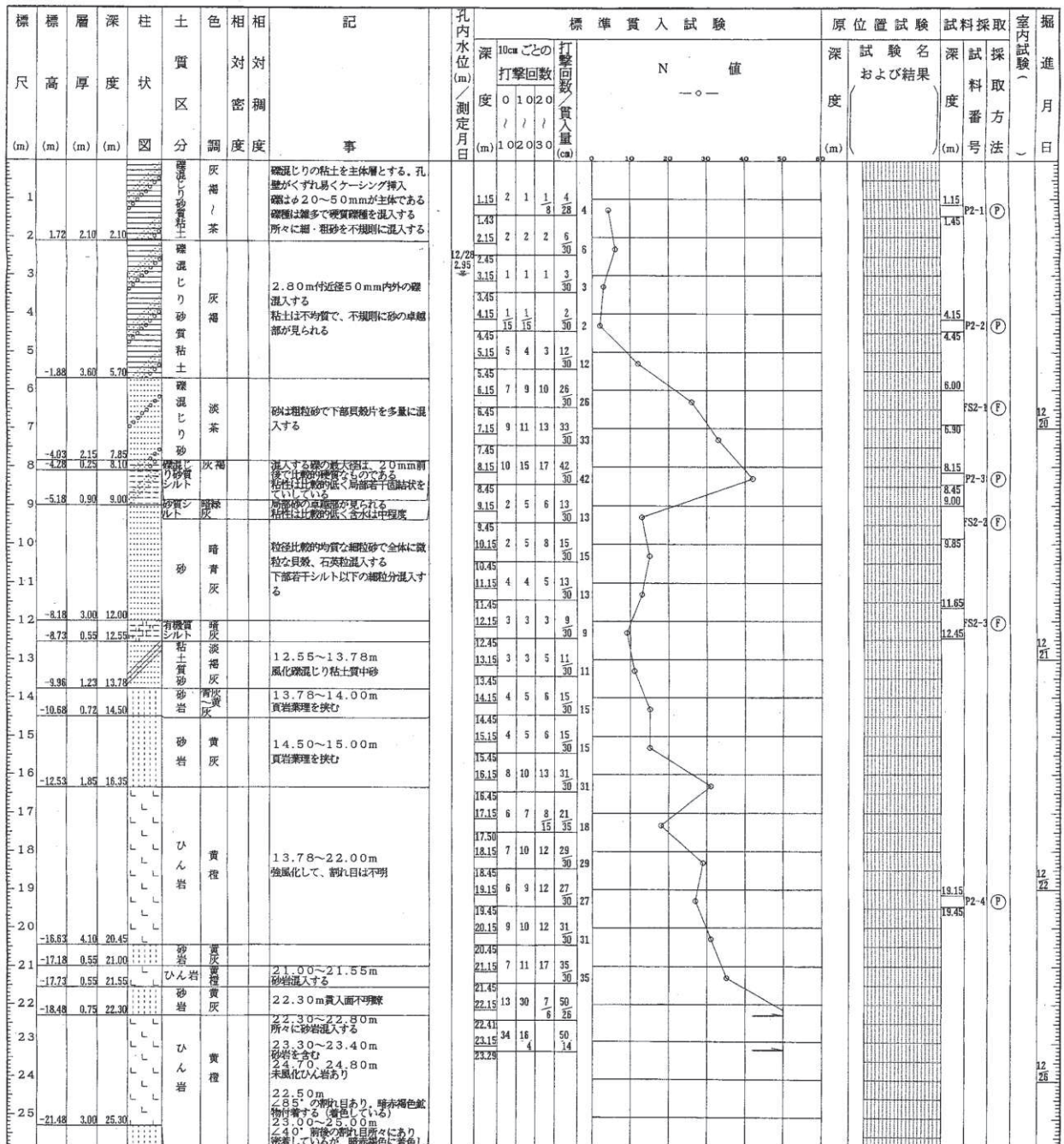


図 1-42(1) ボーリング柱状図 (Fs-2) (旧表土：深度 0~13.78m)



図 1-42(2) ボーリングコア写真 (Fs-2) (旧表土：深度 0～13.78m)

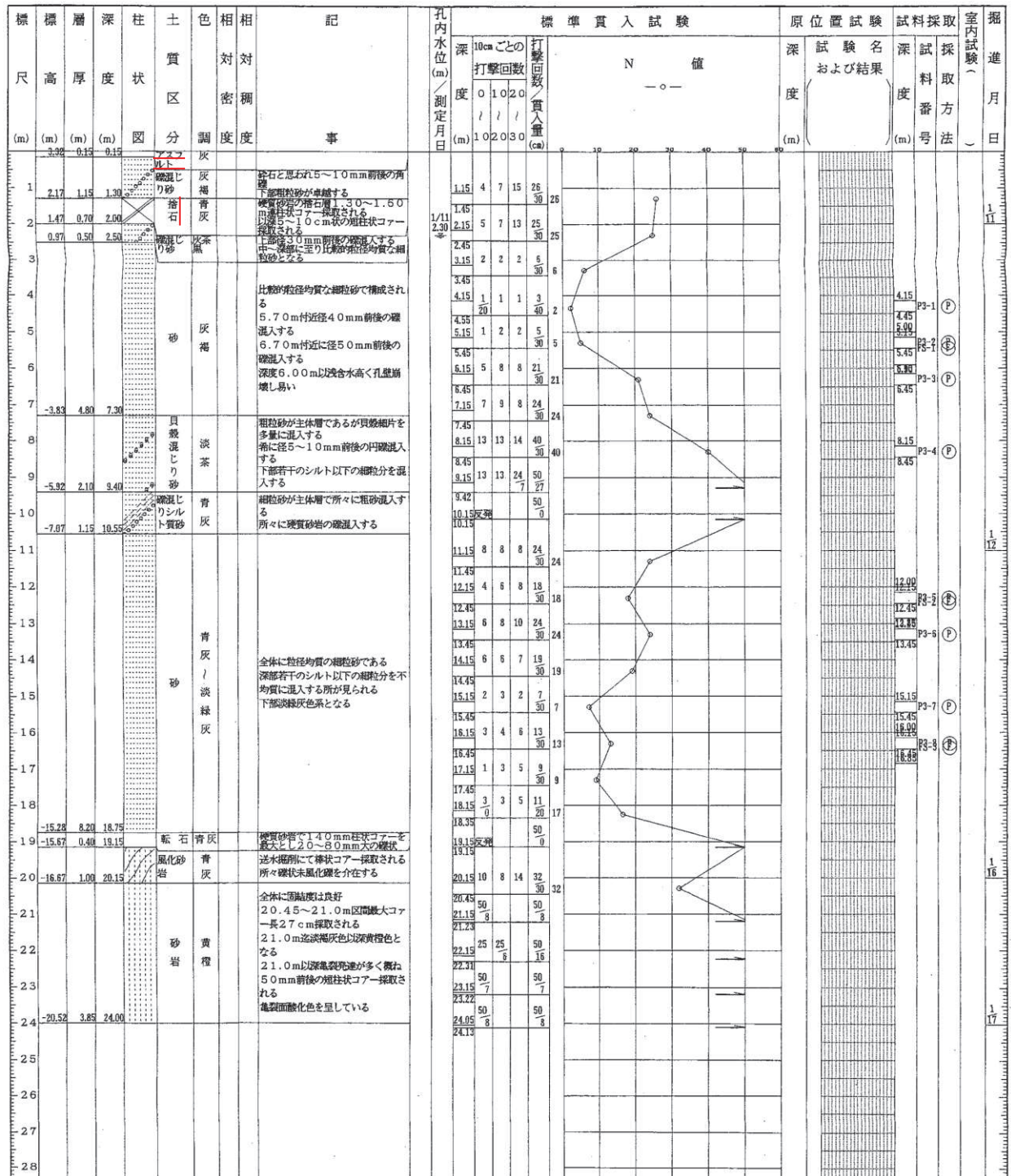


図 1-43(1) ボーリング柱状図 (Fs-3) (旧表土: 深度 0~19.15m)

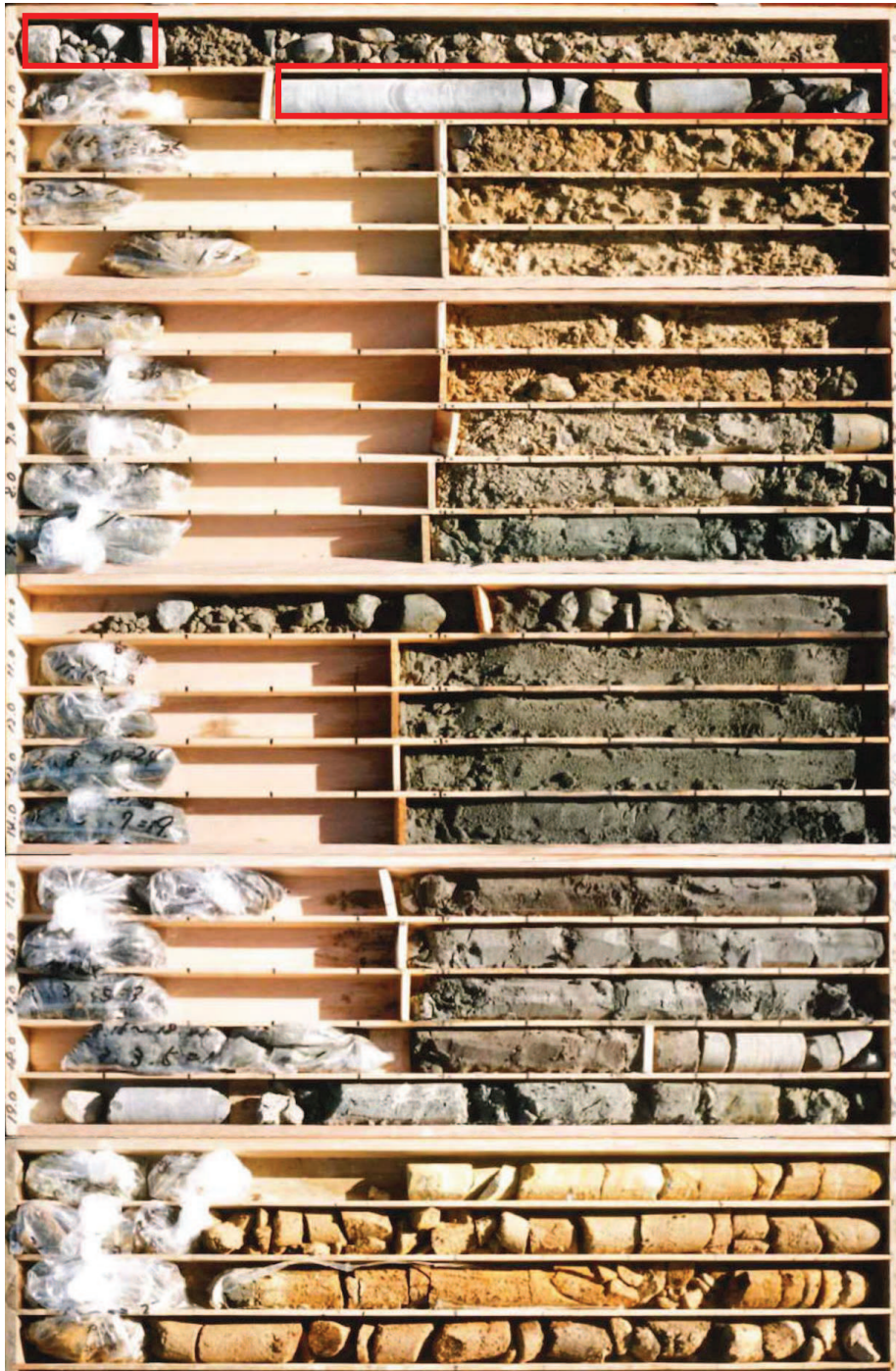


図 1-43(2) ボーリングコア写真 (Fs-3) (旧表土 : 深度 0~19.15m)

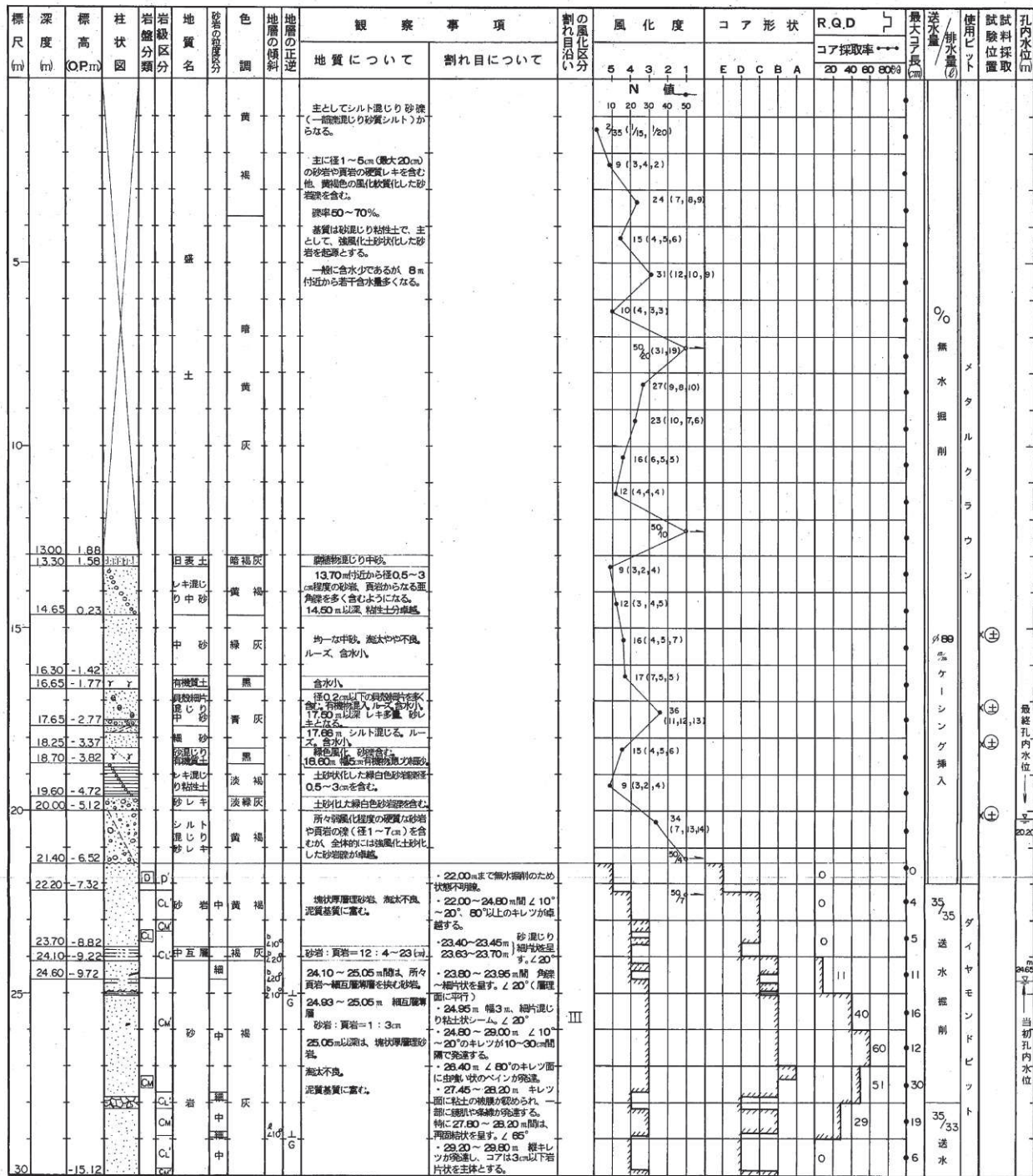


図 1-44(1) ボーリング柱状図 (D-1)

(盛土: 深度 0~13.00m, 旧表土: 深度 13.00~21.40m)



図1-44(2) ボーリングコア写真 (D-1)
(盛土：深度0～13.00m, 旧表土：深度13.00～21.40m)



図 1-45(2) ボーリングコア写真 (No. 1)
(盛土 : 深度 0~9.70m, 旧表土 : 深度 9.70~14.18m)



図 1-46(1) ボーリング柱状図 (No. 2)
(盛土 : 深度 0~9.90m, 旧表土 : 深度 9.90~11.95m)



図 1-46(2) ボーリングコア写真 (No. 2)
(盛土 : 深度 0~9.90m, 旧表土 : 深度 9.90~11.95m)

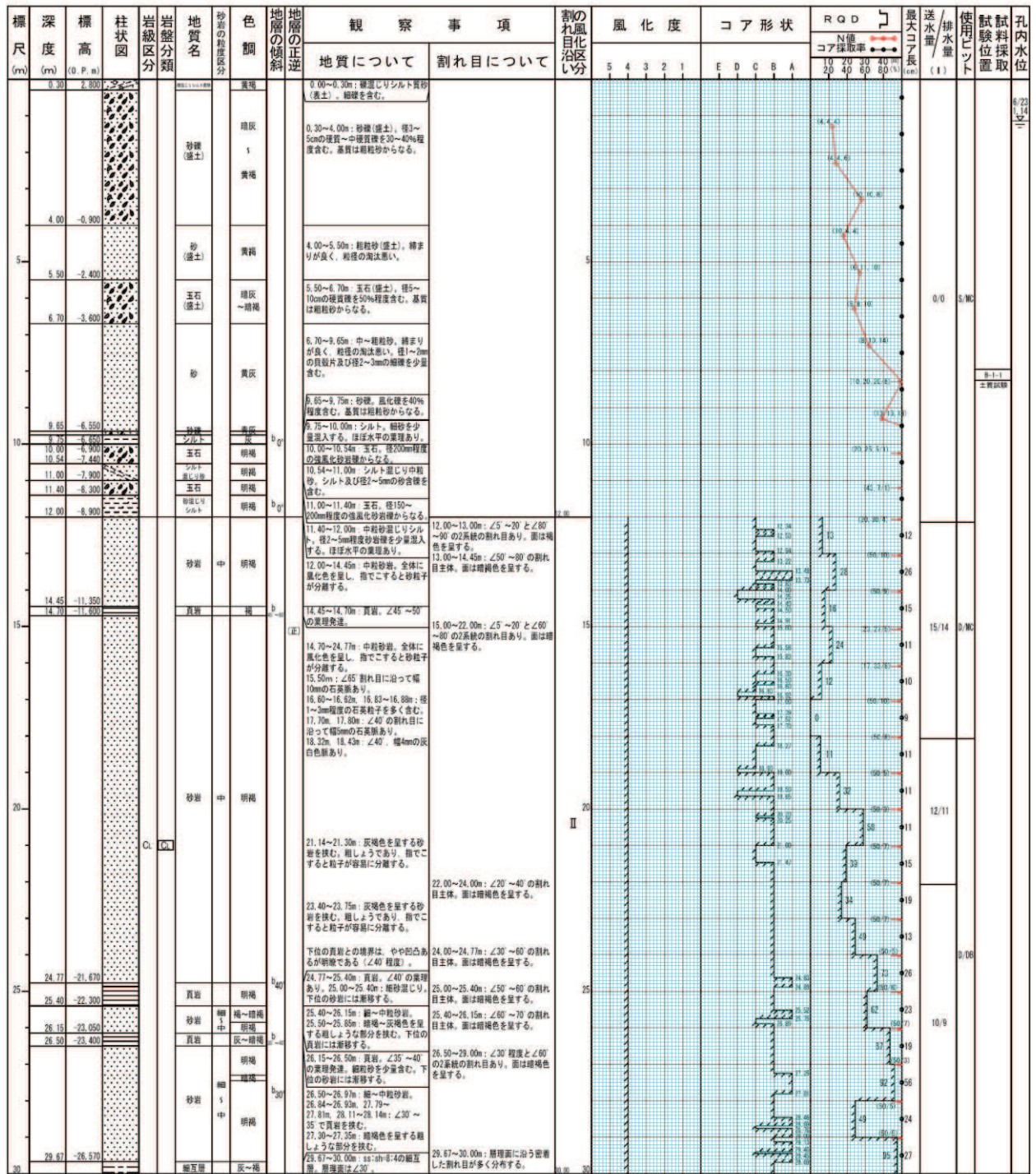


図 1-47(1) ボーリング柱状図 (23B-1)
 (盛土: 深度 0~6.70m, 旧表土: 深度 6.70~12.00m)



図 1-47(2) ボーリングコア写真 (23B-1)
(盛土：深度 0～6.70m, 旧表土：深度 6.70～12.00m)

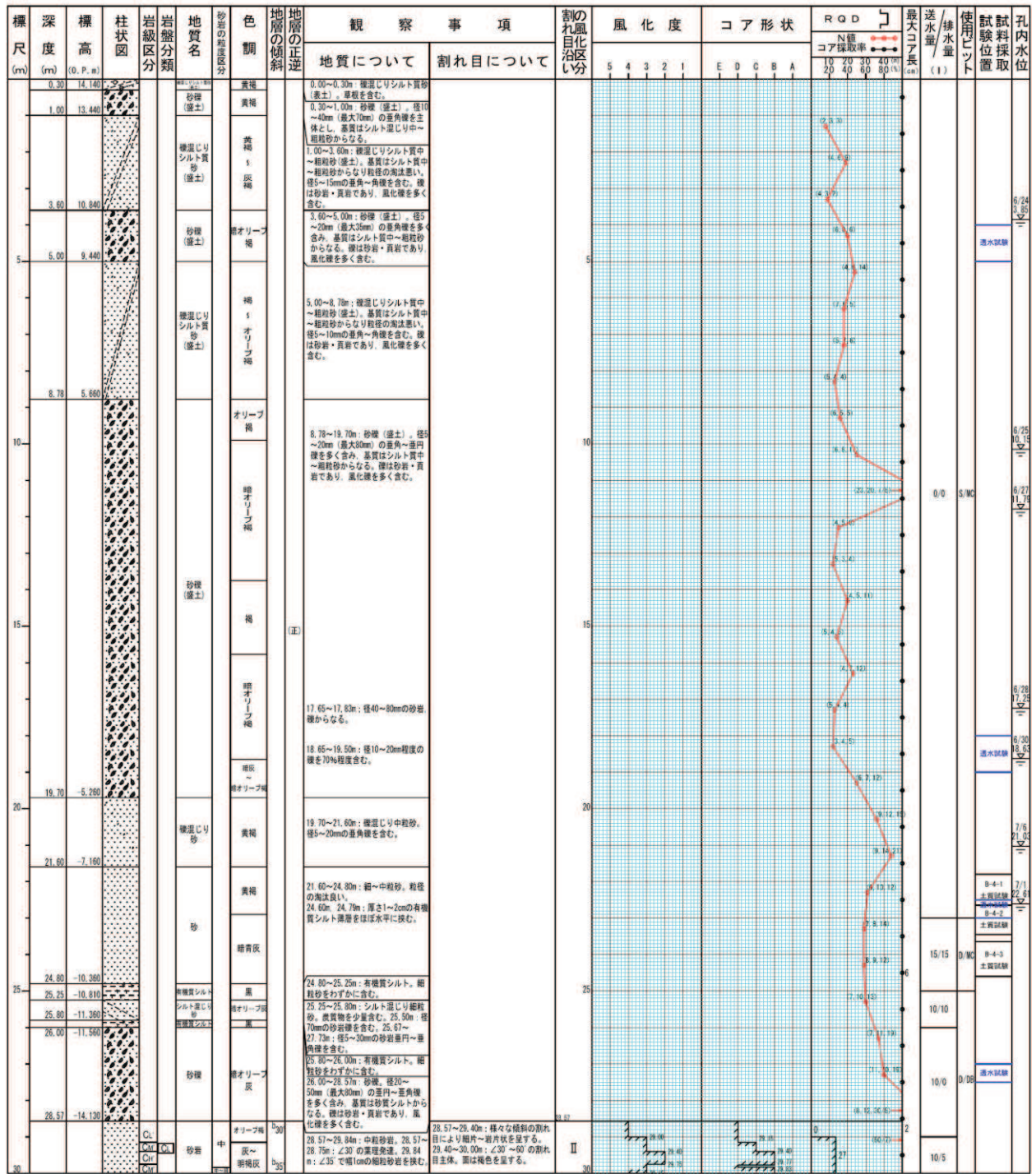


図 1-48(1) ボーリング柱状図 (23B-4)
 (盛土: 深度 0~19.70m, 旧表土: 深度 19.70~28.57m)

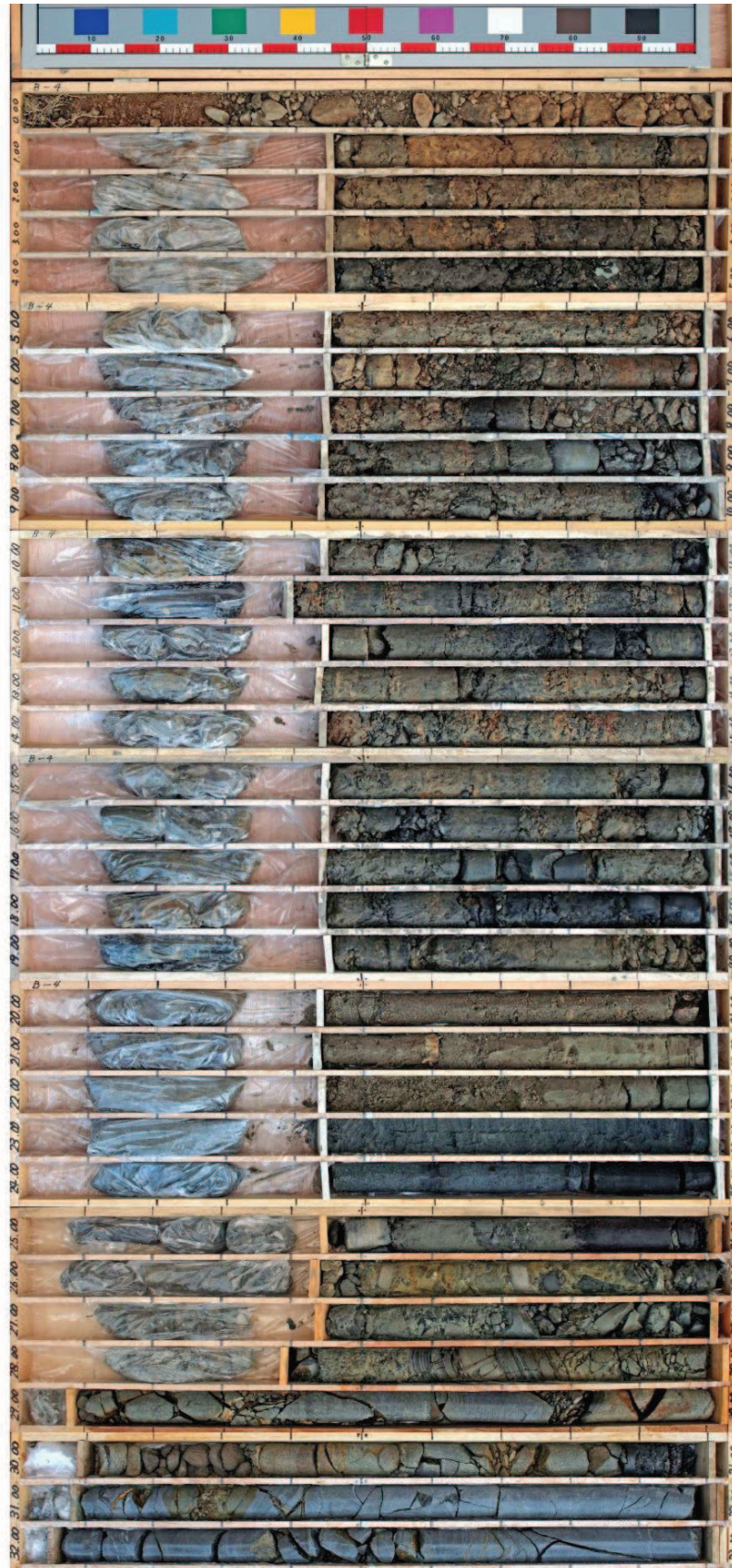


図 1-48(2) ボーリングコア写真 (23B-4)
(盛土：深度 0～19.70m, 旧表土：深度 19.70～28.57m)

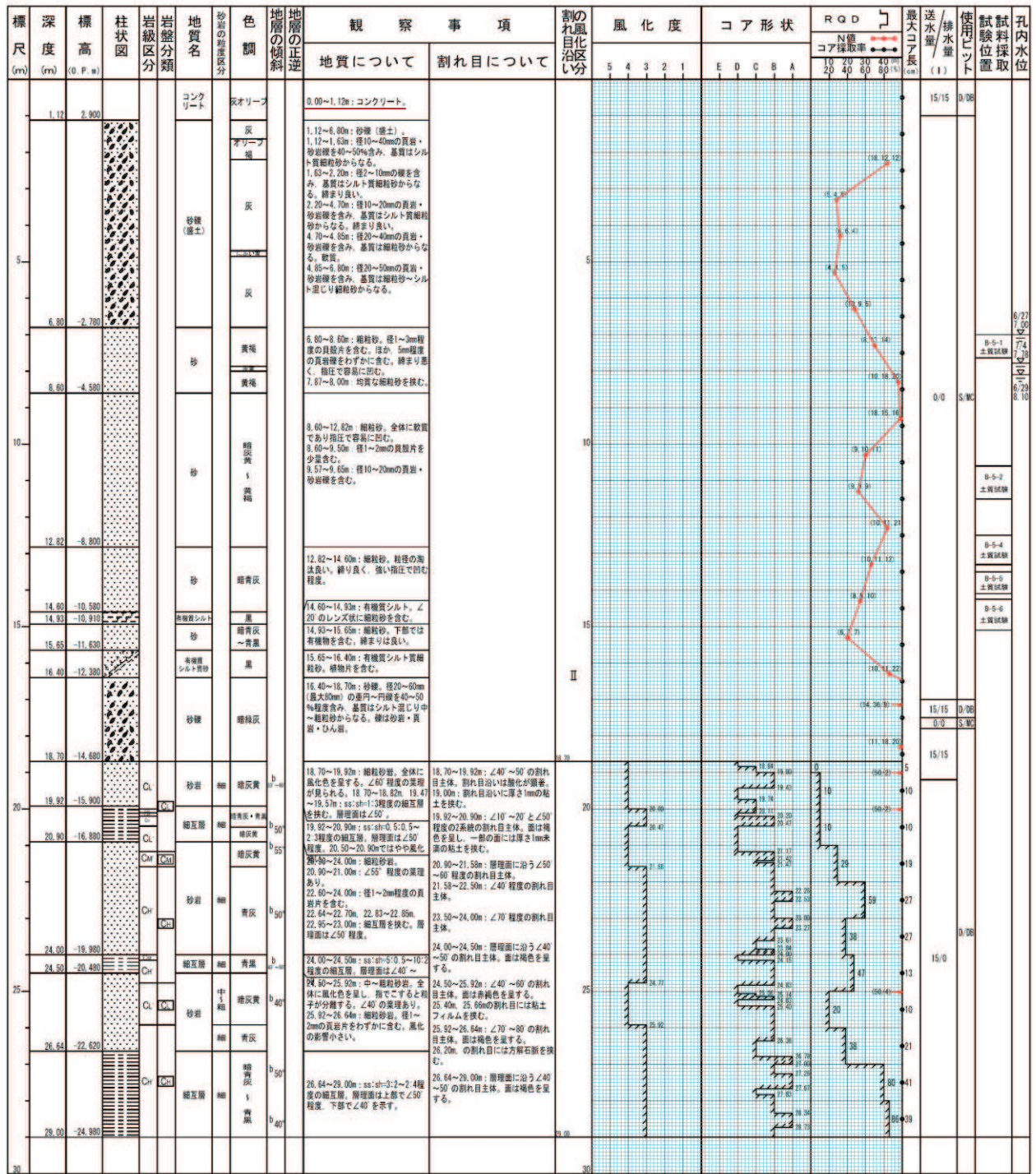


図 1-49(1) ボーリング柱状図 (23B-5)
(盛土: 深度 0~6.80m, 旧表土: 深度 6.80~18.70m)

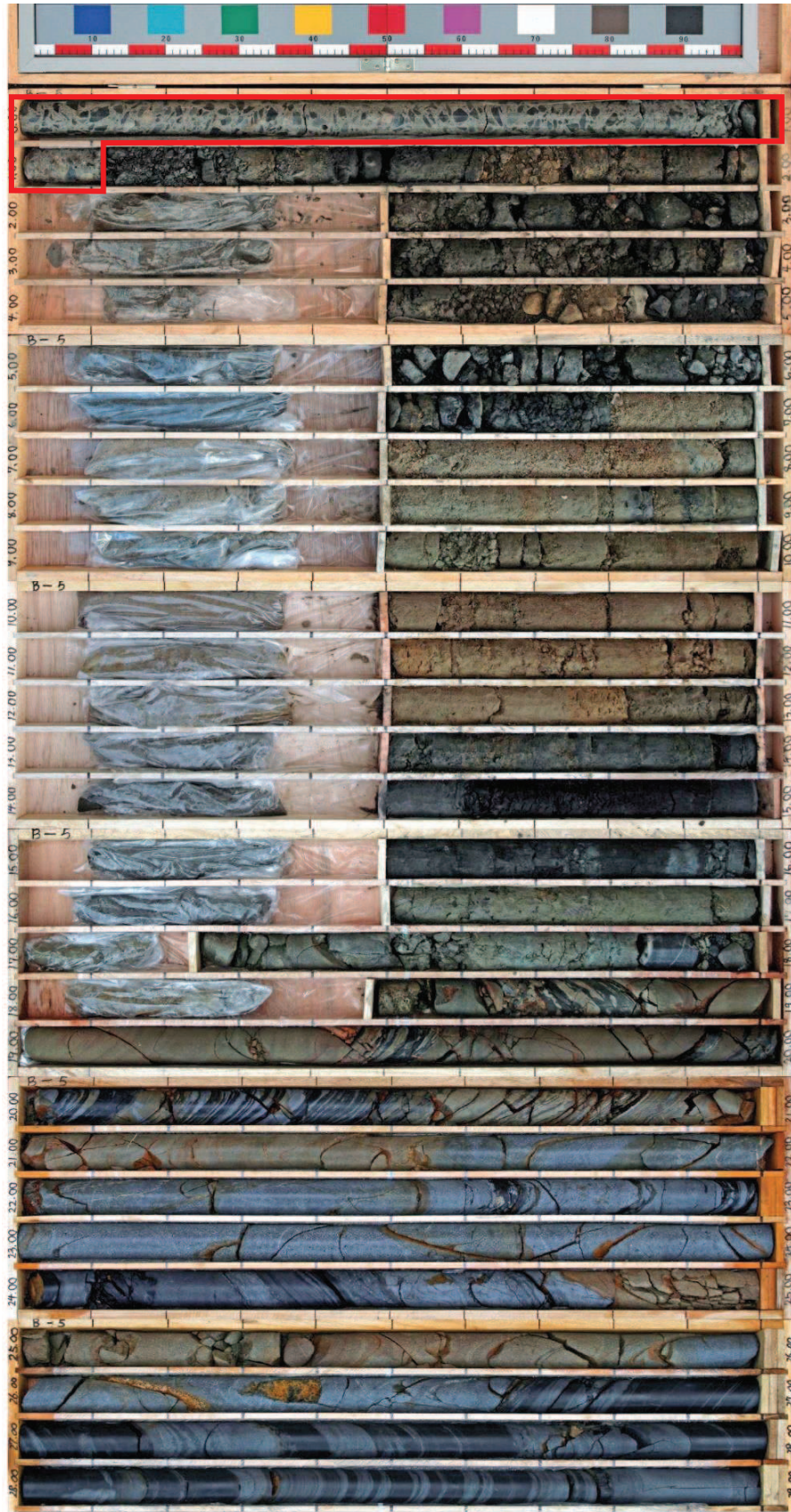
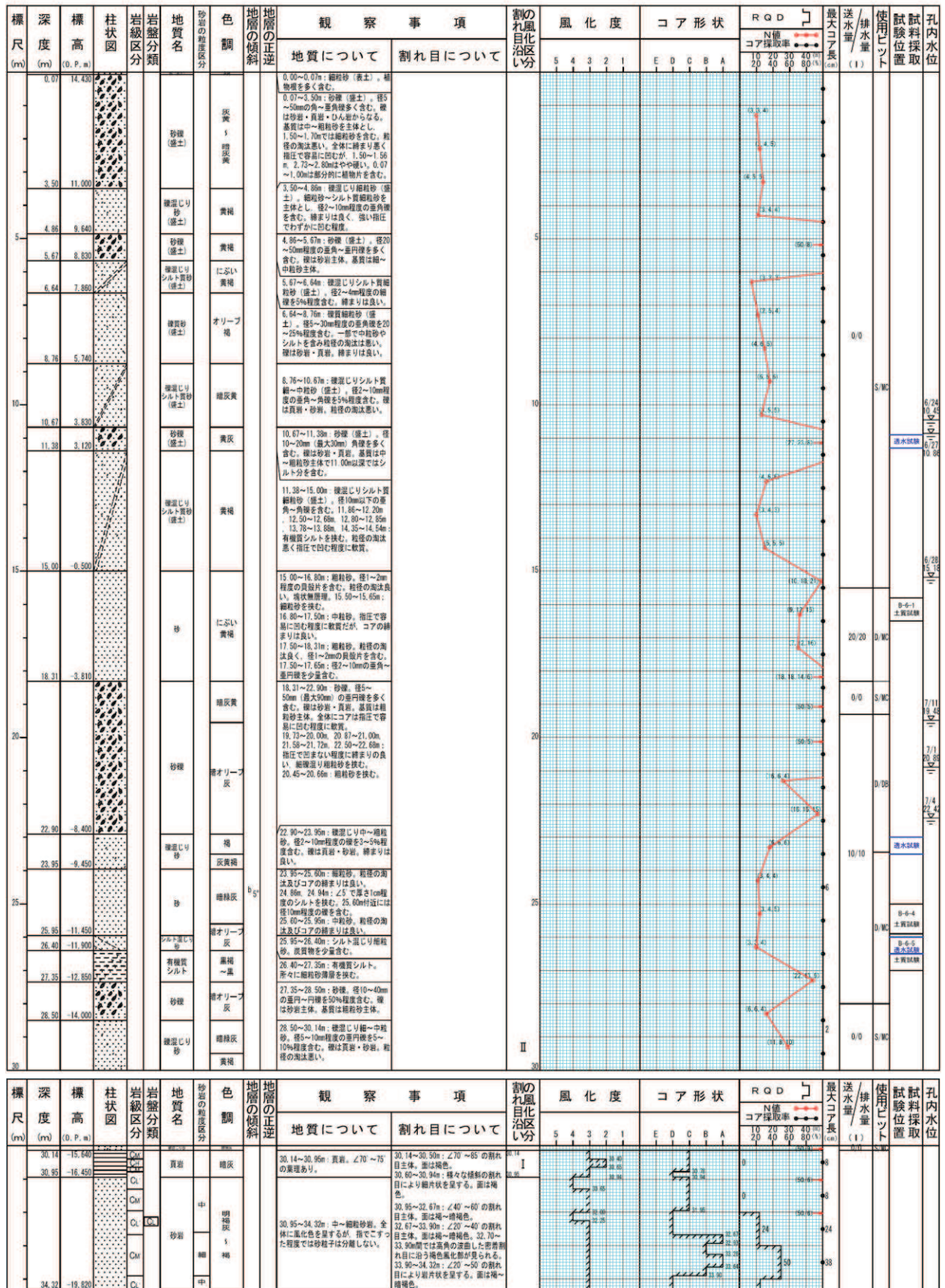


図 1-49(2) ボーリングコア写真 (23B-5)
 (盛土：深度 0～6.80m, 旧表土：深度 6.80～18.70m)



(深度 33m 以深には岩盤が連続しており、ここではこの区間の柱状図とコア写真を割愛)

図 1-50(1) ボーリング柱状図 (23B-6)

(盛土: 深度 0~15.00m, 旧表土: 深度 15.00~30.14m)



図 1-50(2) ボーリングコア写真 (23B-6)
 (盛土：深度 0～15.00m, 旧表土：深度 15.00～30.14m)

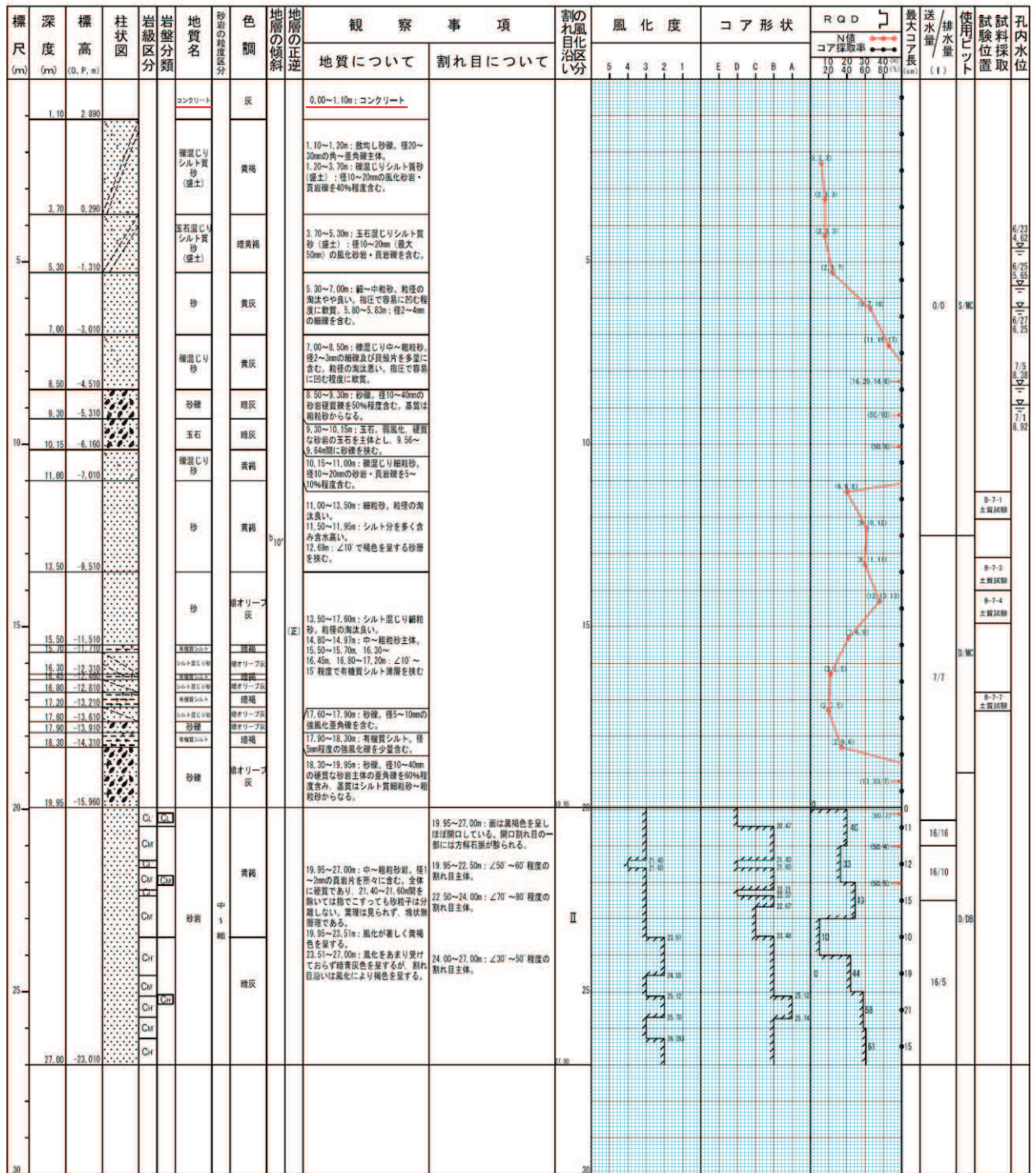


図 1-51(1) ボーリング柱状図 (23B-7)
(盛土: 深度 0~5.30m, 旧表土: 深度 5.30~19.95m)



図 1-51(2) ボーリングコア写真 (23B-7)
(盛土 : 深度 0~5.30m, 旧表土 : 深度 5.30~19.95m)

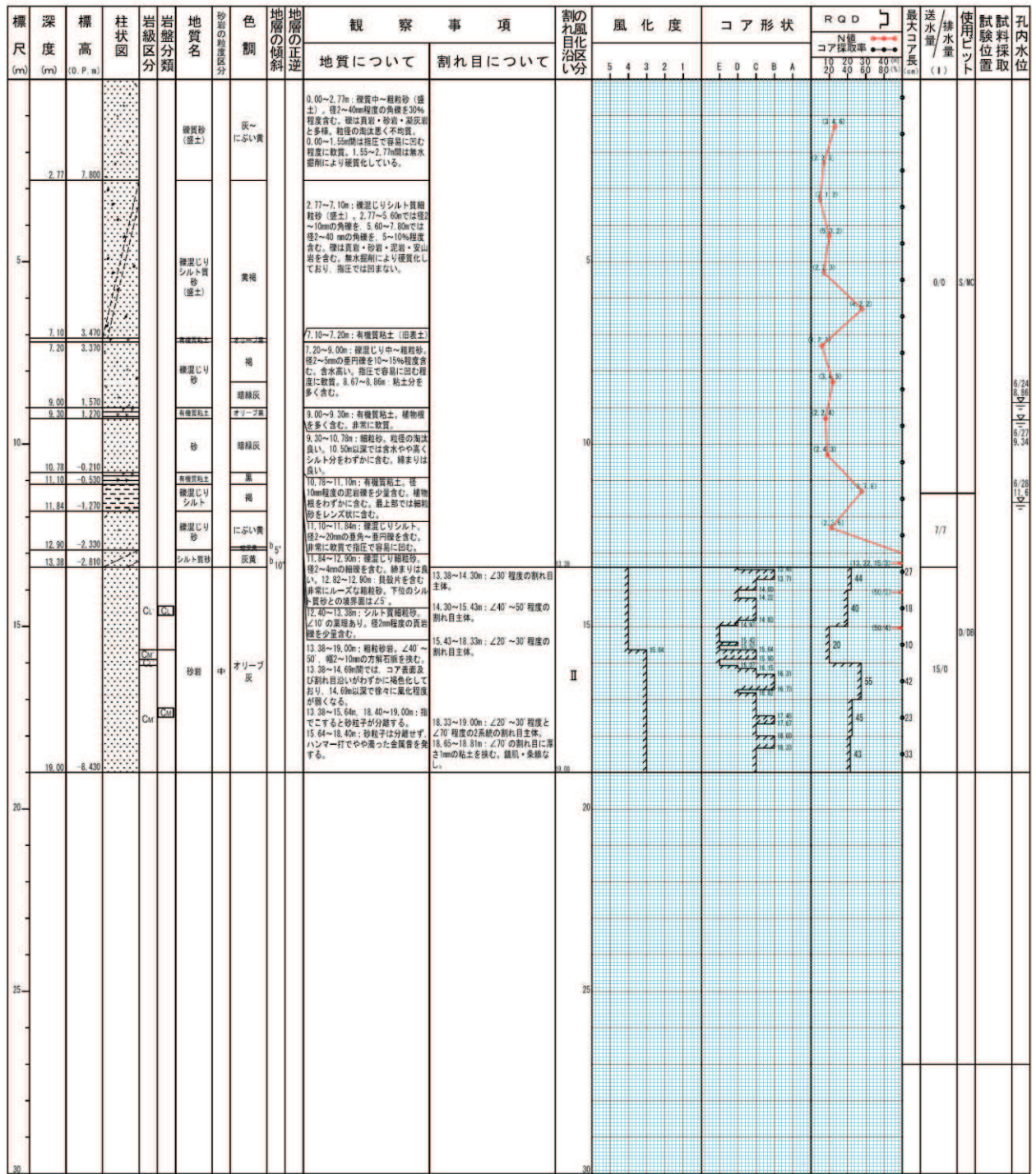


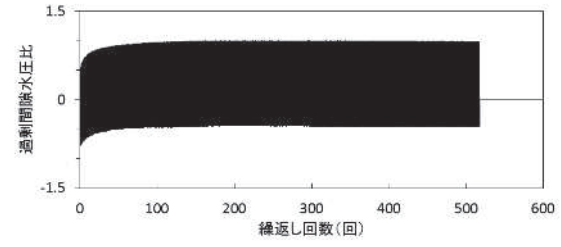
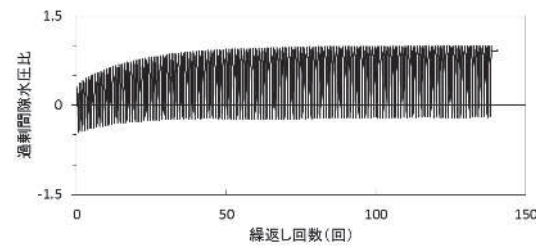
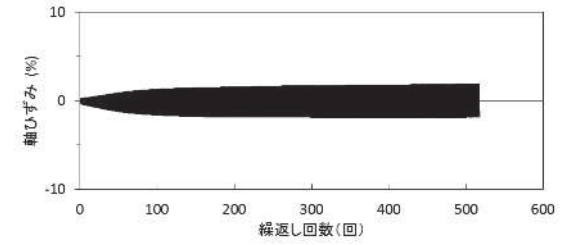
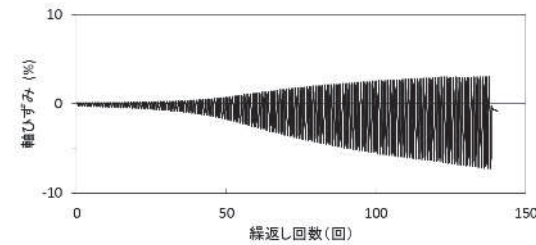
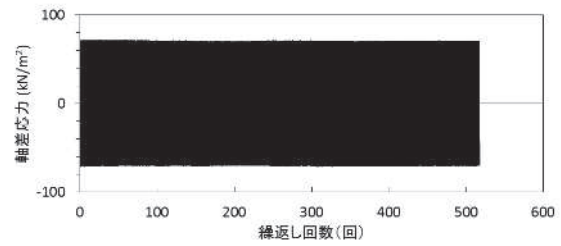
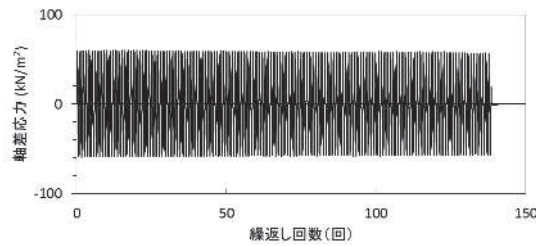
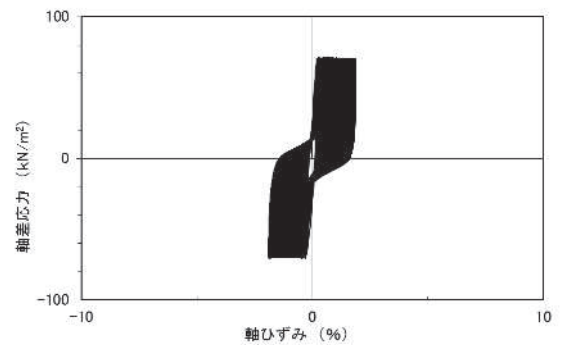
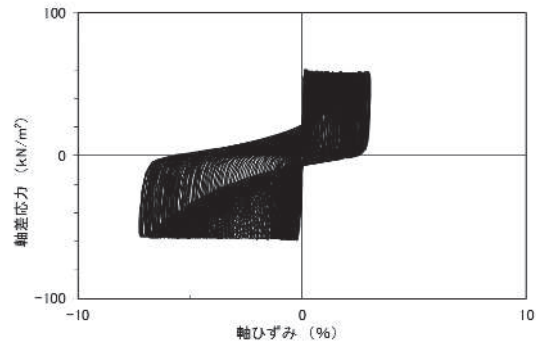
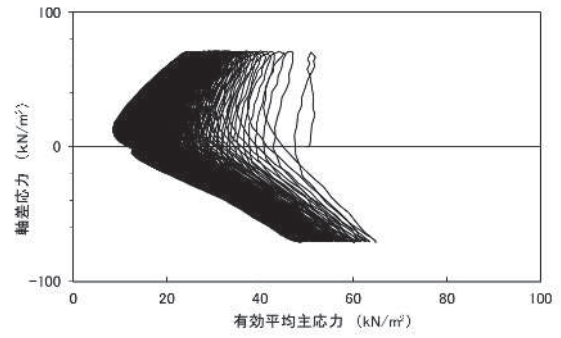
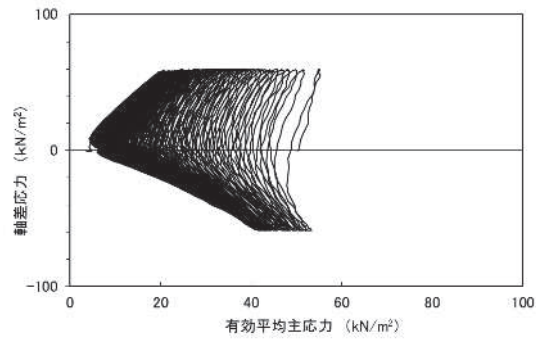
図 1-52(1) ボーリング柱状図 (23B-9)
(盛土: 深度 0~7.10m, 旧表土: 深度 7.10~13.38m)



図 1-52(2) ボーリングコア写真 (23B-9)
(盛土：深度 0～7.10m, 旧表土：深度 7.10～13.38m)

2. 液状化強度試験結果

2.1 盛土の液状化強度試験結果

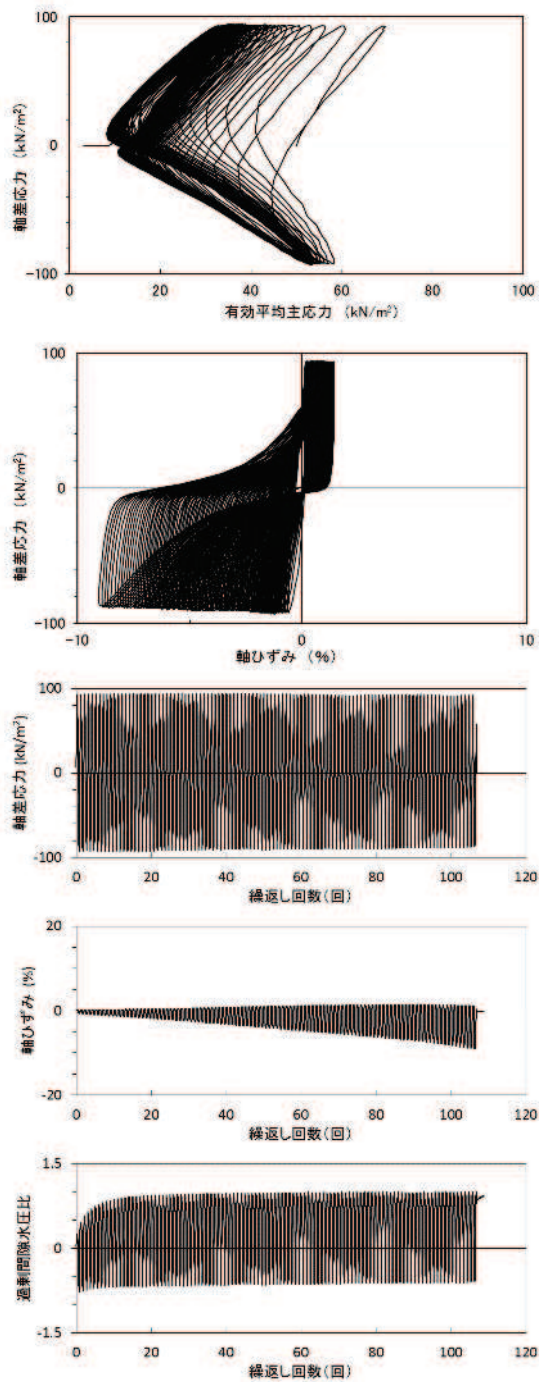


試験結果		液状化の判断
間隙水圧が上昇・蓄積する(95%)	○	繰返し軟化
有効応力がゼロまで低下する	×	
液体状となり流動する(ひずみ急増)	×	
ダイレイタンシー特性によりせん断抵抗が作用する(有効応力回復)	○	

試験結果		液状化の判断
間隙水圧が上昇・蓄積する(95%)	○	繰返し軟化
有効応力がゼロまで低下する	×	
液体状となり流動する(ひずみ急増)	×	
ダイレイタンシー特性によりせん断抵抗が作用する(有効応力回復)	○	

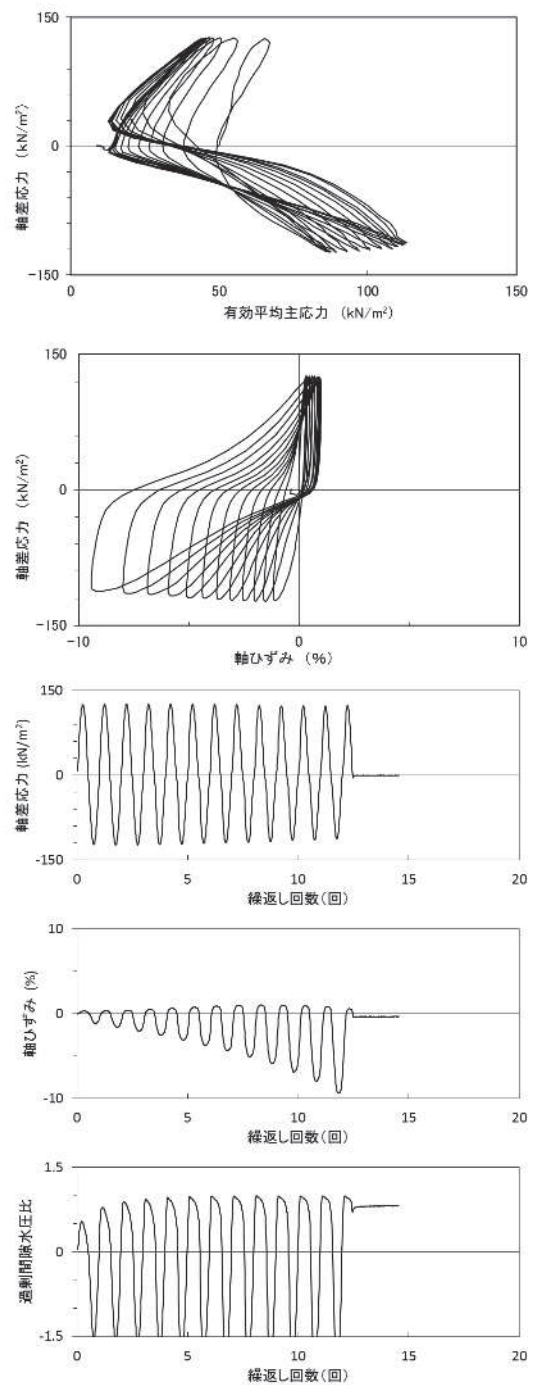
図 2. 1-1 液状化強度試験結果
(B-1-1 試料 (供試体 No. 1))

図 2. 1-2 液状化強度試験結果
(B-1-1 試料 (供試体 No. 2))



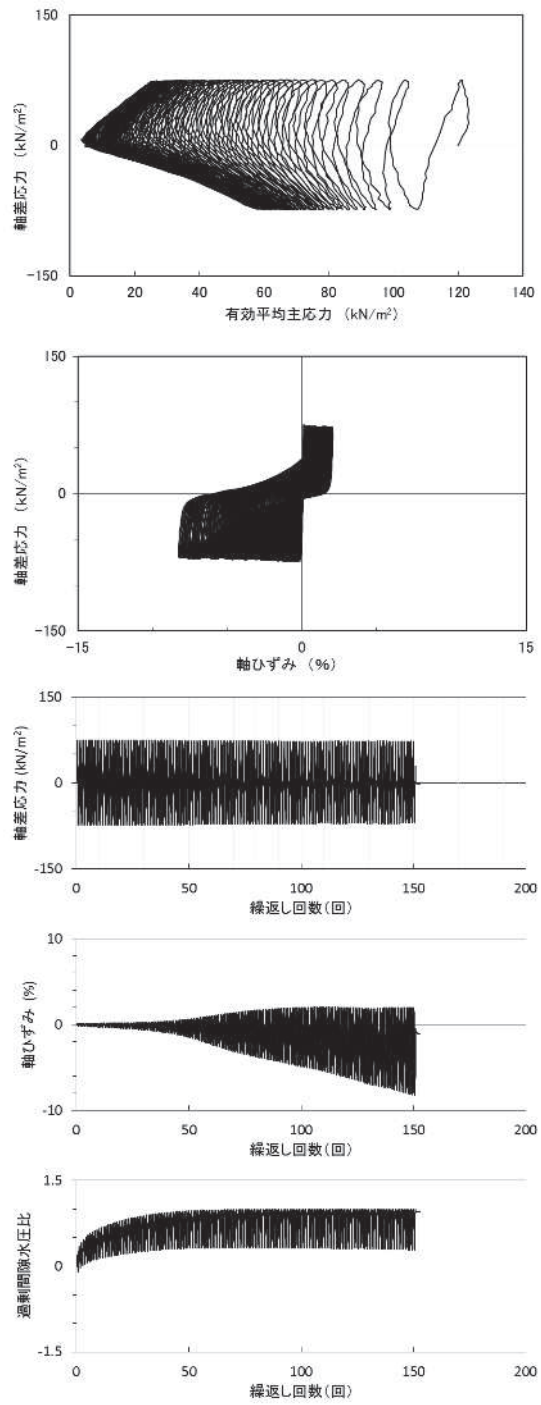
試験結果		液状化の判断
間隙水圧が上昇・蓄積する(95%)	○	繰返し軟化
有効応力がゼロまで低下する	×	
液体状となり流動する(ひずみ急増)	×	
ダイレイタンスー特性によりせん断抵抗が作用する(有効応力回復)	○	

図 2.1-3 液状化強度試験結果
(B-1-1 試料 (供試体 No. 3))



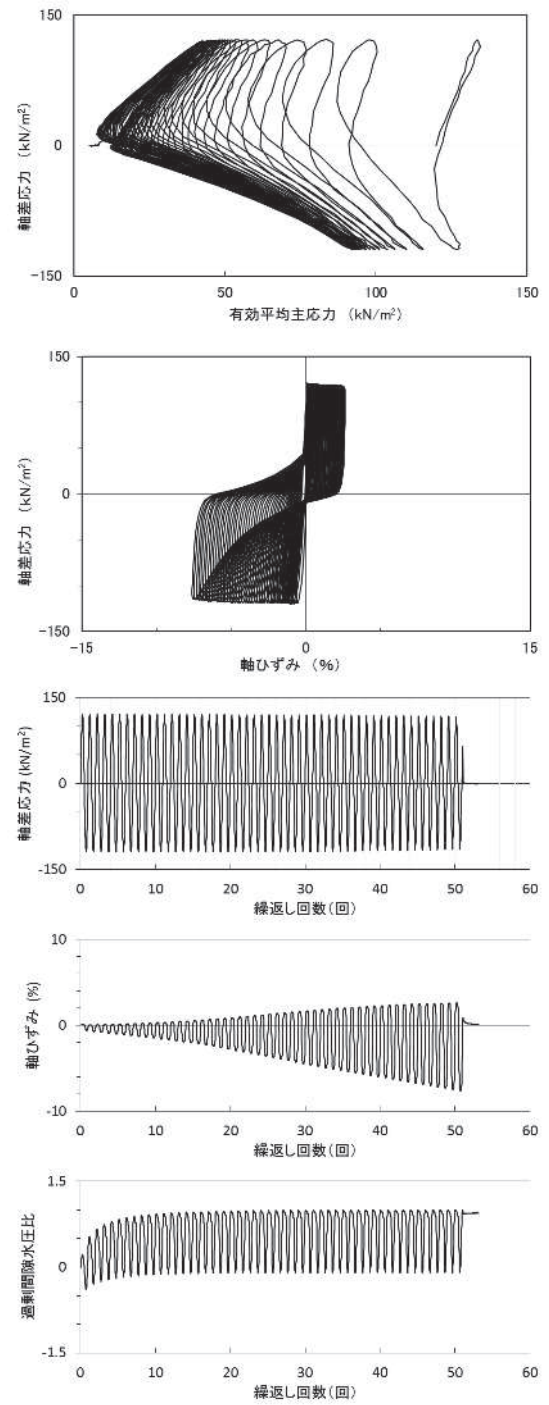
試験結果		液状化の判断
間隙水圧が上昇・蓄積する(95%)	○	繰返し軟化
有効応力がゼロまで低下する	×	
液体状となり流動する(ひずみ急増)	×	
ダイレイタンスー特性によりせん断抵抗が作用する(有効応力回復)	○	

図 2.1-4 液状化強度試験結果
(B-1-1 試料 (供試体 No. 4))



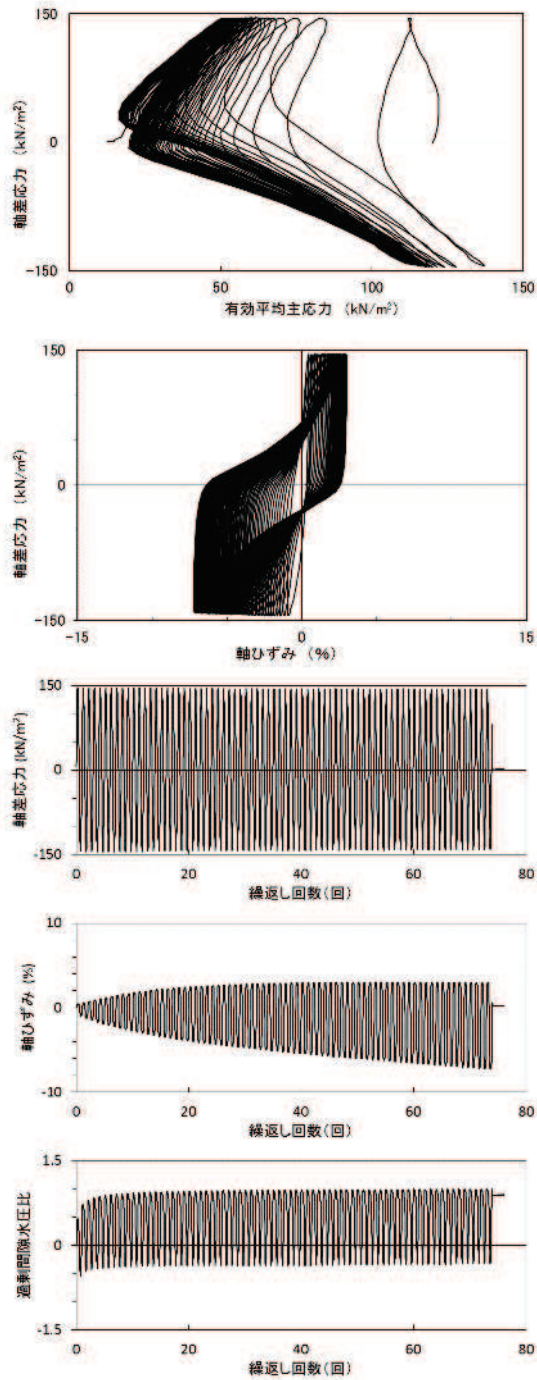
試験結果		液状化の判断
間隙水圧が上昇・蓄積する (95%)	○	繰返し軟化
有効応力がゼロまで低下する	×	
液体状となり流動する (ひずみ急増)	×	
ダイレイタンスー特性によりせん断抵抗が作用する (有効応力回復)	○	

図 2.1-5 液状化強度試験結果
(B-1-2 試料 (供試体 No. 1))



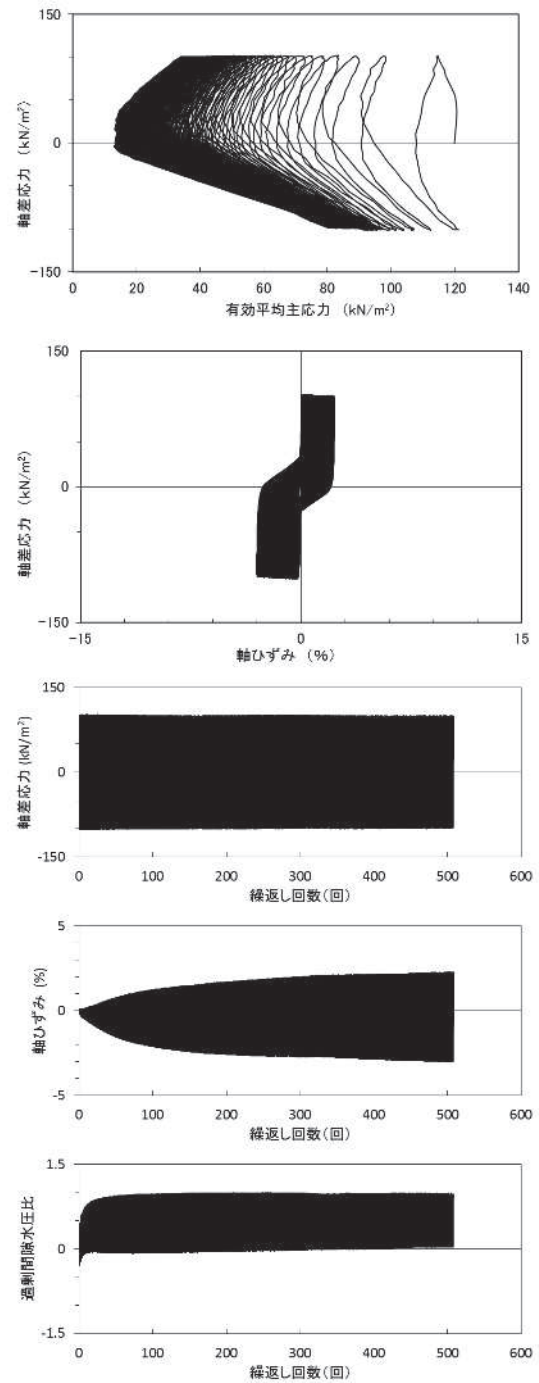
試験結果		液状化の判断
間隙水圧が上昇・蓄積する (95%)	○	繰返し軟化
有効応力がゼロまで低下する	×	
液体状となり流動する (ひずみ急増)	×	
ダイレイタンスー特性によりせん断抵抗が作用する (有効応力回復)	○	

図 2.1-6 液状化強度試験結果
(B-1-2 試料 (供試体 No. 2))



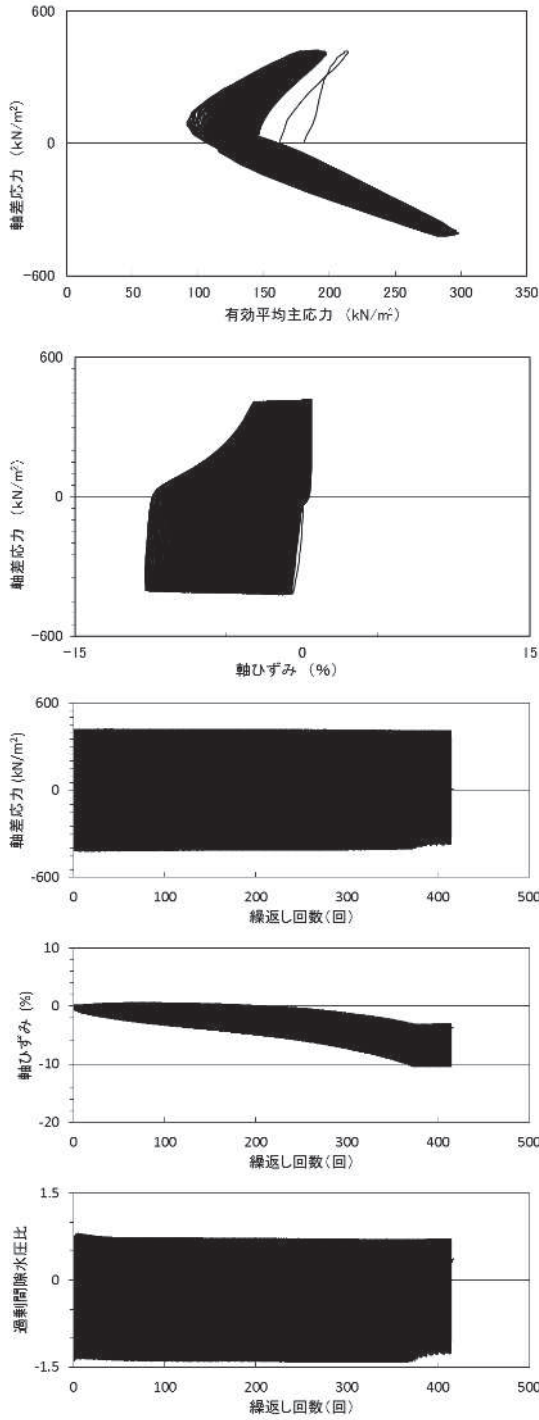
試験結果		液状化の判断
間隙水圧が上昇・蓄積する(95%)	○	繰返し軟化
有効応力がゼロまで低下する	×	
液体状となり流動する(ひずみ急増)	×	
ダイレイタンスー特性によりせん断抵抗が作用する(有効応力回復)	○	

図 2.1-7 液状化強度試験結果
(B-1-2 試料 (供試体 No. 3))



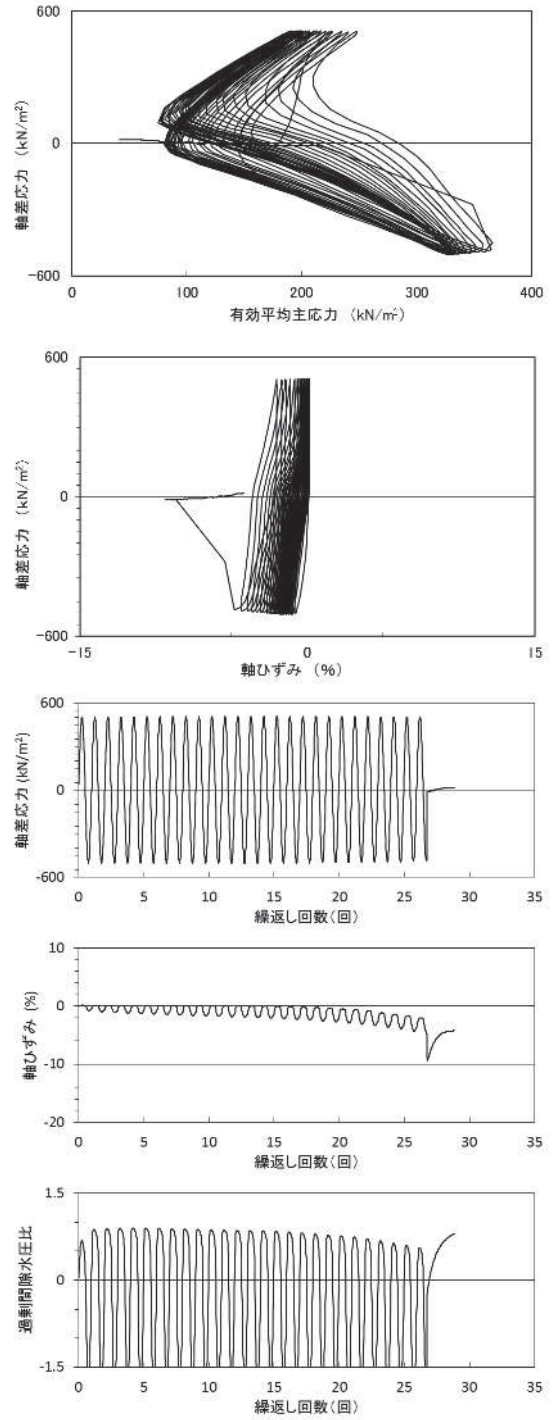
試験結果		液状化の判断
間隙水圧が上昇・蓄積する(95%)	○	繰返し軟化
有効応力がゼロまで低下する	×	
液体状となり流動する(ひずみ急増)	×	
ダイレイタンスー特性によりせん断抵抗が作用する(有効応力回復)	○	

図 2.1-8 液状化強度試験結果
(B-1-2 試料 (供試体 No. 4))



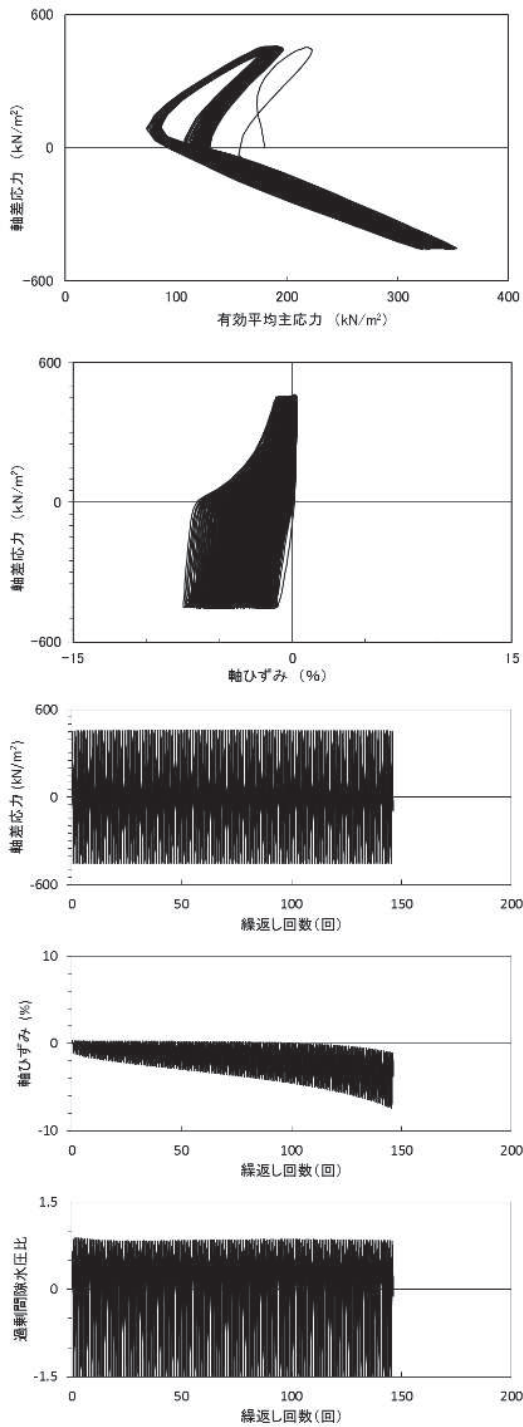
試験結果		液状化の判断
間隙水圧が上昇・蓄積する(95%)	×	非液状化
有効応力がゼロまで低下する	×	
液体状となり流動する(ひずみ急増)	×	
ダイレイタンスー特性によりせん断抵抗が作用する(有効応力回復)	○	

図 2.1-9 液状化強度試験結果
(B-1-3 試料 (供試体 No. 1))



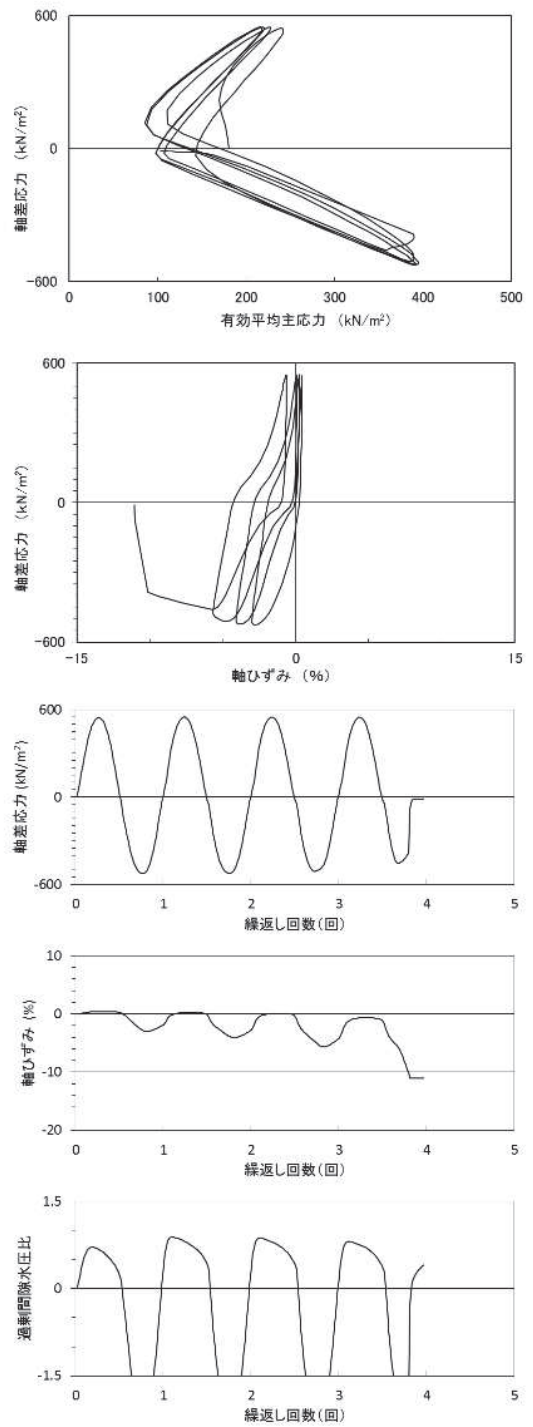
試験結果		液状化の判断
間隙水圧が上昇・蓄積する(95%)	×	非液状化
有効応力がゼロまで低下する	×	
液体状となり流動する(ひずみ急増)	×	
ダイレイタンスー特性によりせん断抵抗が作用する(有効応力回復)	○	

図 2.1-10 液状化強度試験結果
(B-1-3 試料 (供試体 No. 2))



試験結果		液状化の判断
間隙水圧が上昇・蓄積する(95%)	○	繰返し軟化
有効応力がゼロまで低下する	×	
液体状となり流動する(ひずみ急増)	×	
ダイレイタンスー特性によりせん断抵抗が作用する(有効応力回復)	○	

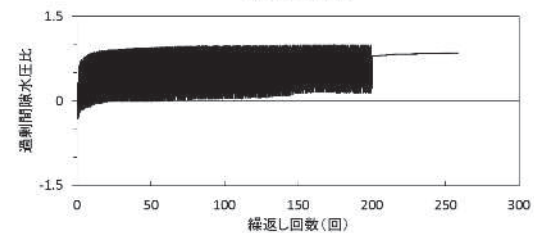
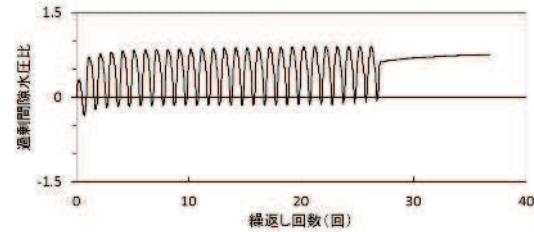
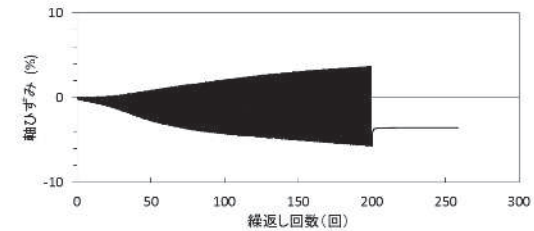
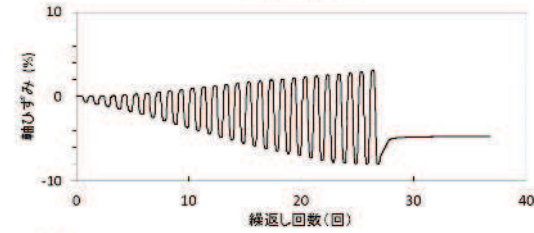
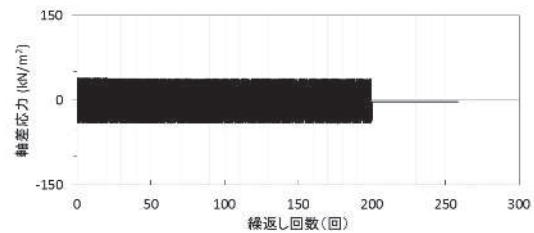
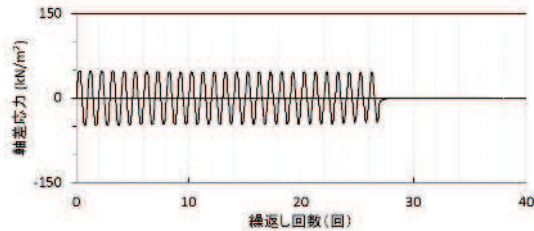
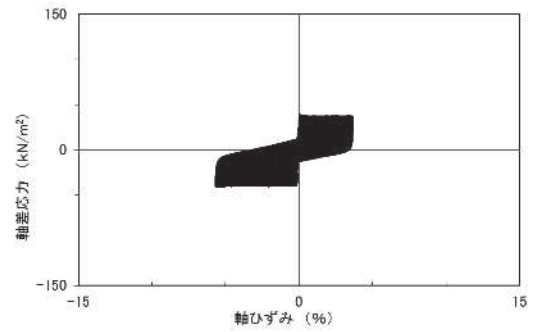
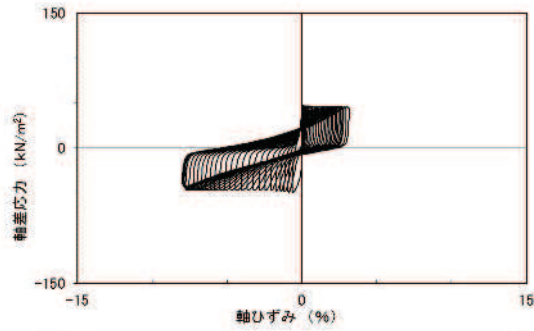
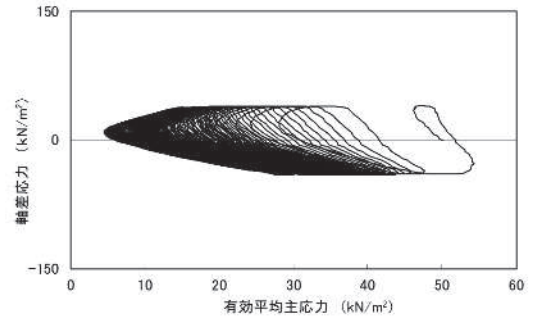
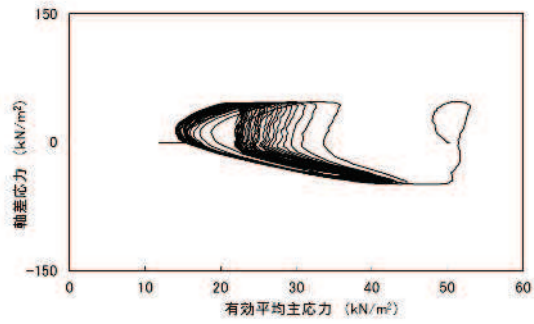
図 2.1-11 液状化強度試験結果
(B-1-3 試料 (供試体 No. 3))



試験結果		液状化の判断
間隙水圧が上昇・蓄積する(95%)	○	繰返し軟化
有効応力がゼロまで低下する	×	
液体状となり流動する(ひずみ急増)	×※	
ダイレイタンスー特性によりせん断抵抗が作用する(有効応力回復)	○	

※応力振幅が大きいことによるひずみ発生

図 2.1-12 液状化強度試験結果
(B-1-3 試料 (供試体 No. 4))

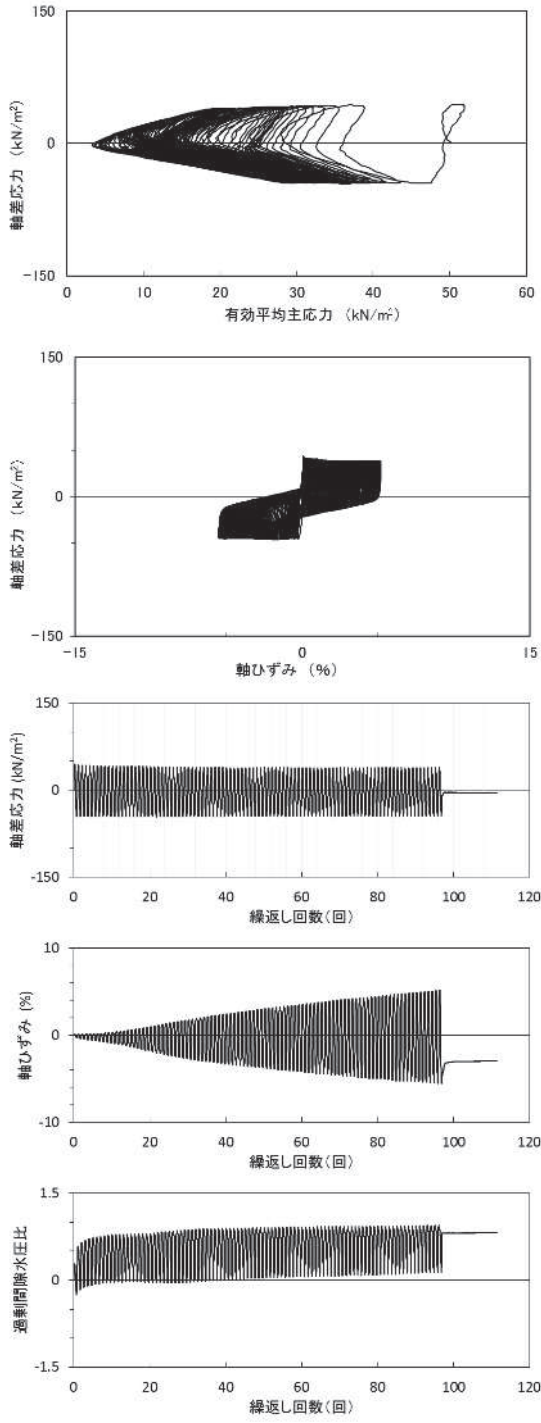


試験結果		液状化の判断
間隙水圧が上昇・蓄積する(95%)	×	非液状化
有効応力がゼロまで低下する	×	
液体状となり流動する(ひずみ急増)	×	
ダイレイタンスー特性によりせん断抵抗が作用する(有効応力回復)	○	

試験結果		液状化の判断
間隙水圧が上昇・蓄積する(95%)	○	繰返し軟化
有効応力がゼロまで低下する	×	
液体状となり流動する(ひずみ急増)	×	
ダイレイタンスー特性によりせん断抵抗が作用する(有効応力回復)	○	

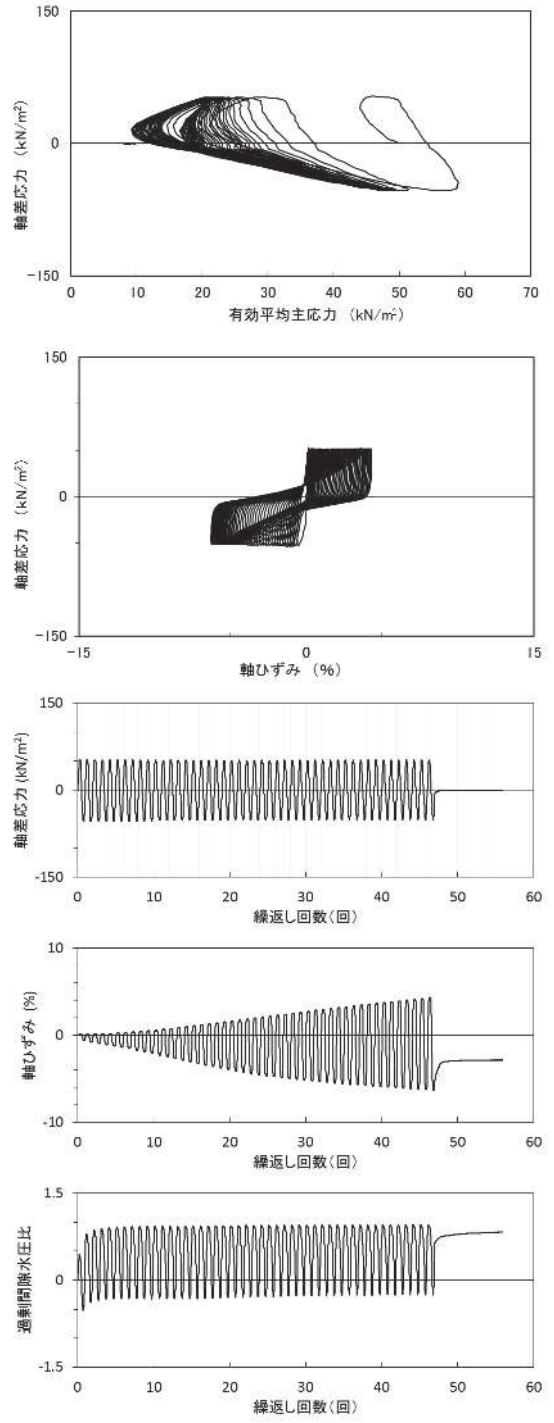
図 2.1-13 液状化強度試験結果
(B-1-4 試料 (供試体 No. 1))

図 2.1-14 液状化強度試験結果
(B-1-4 試料 (供試体 No. 2))



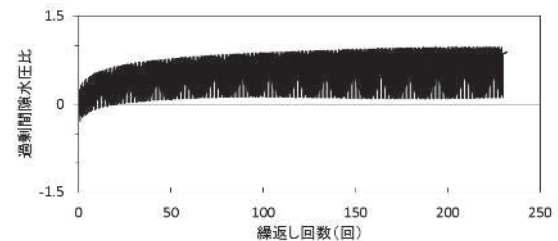
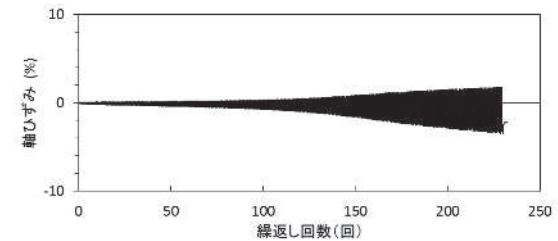
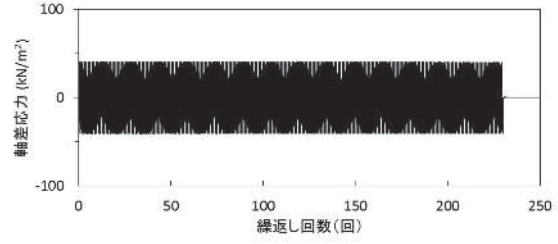
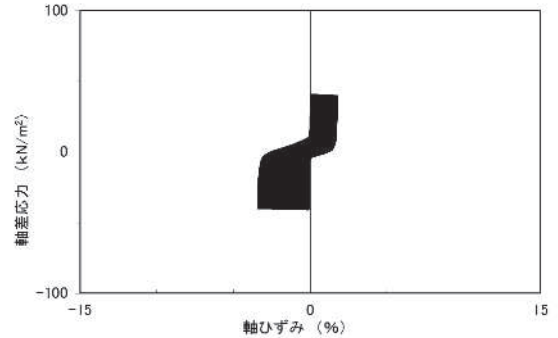
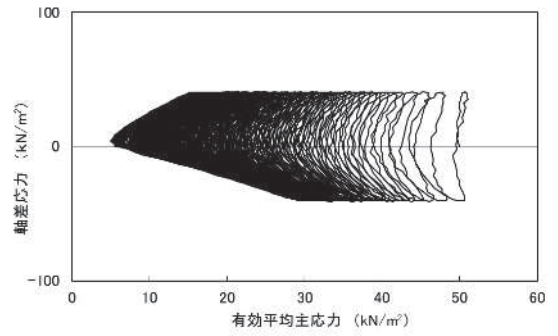
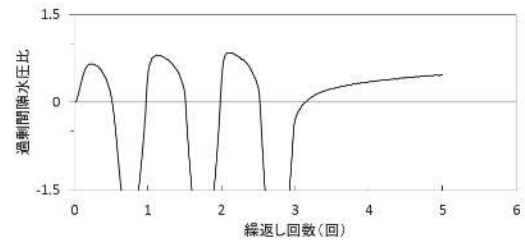
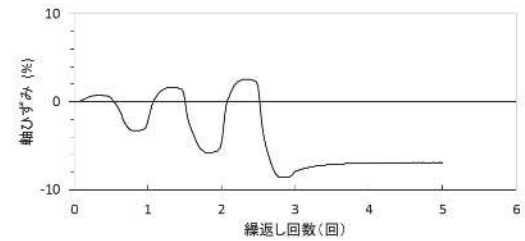
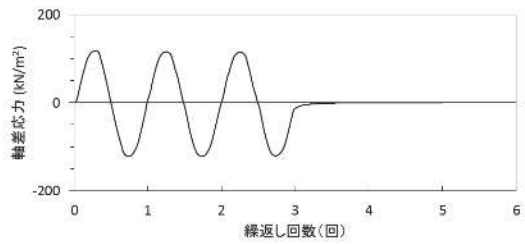
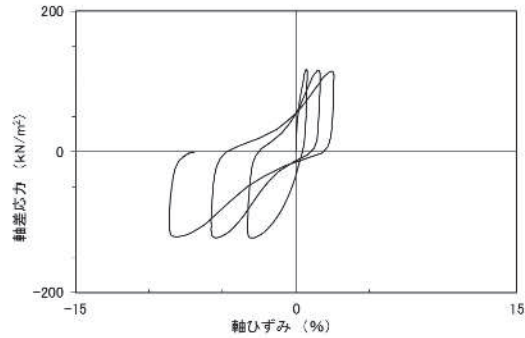
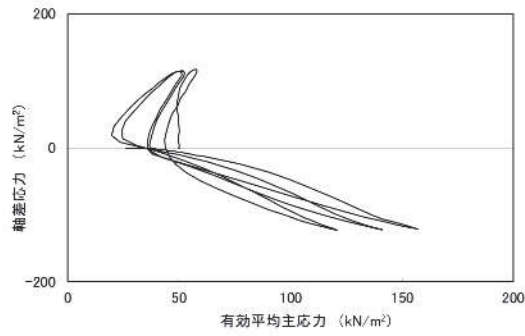
試験結果		液状化の判断
間隙水圧が上昇・蓄積する(95%)	×	非液状化
有効応力がゼロまで低下する	×	
液体状となり流動する(ひずみ急増)	×	
ダイレイタンスー特性によりせん断抵抗が作用する(有効応力回復)	○	

図 2.1-15 液状化強度試験結果
(B-1-4 試料 (供試体 No. 3))



試験結果		液状化の判断
間隙水圧が上昇・蓄積する(95%)	○	繰返し軟化
有効応力がゼロまで低下する	×	
液体状となり流動する(ひずみ急増)	×	
ダイレイタンスー特性によりせん断抵抗が作用する(有効応力回復)	○	

図 2.1-16 液状化強度試験結果
(B-1-4 試料 (供試体 No. 4))



試験結果		液状化の判断
間隙水圧が上昇・蓄積する (95%)	×	非液状化
有効応力がゼロまで低下する	×	
液体状となり流動する (ひずみ急増)	×	
ダイレイタンスー特性によりせん断抵抗が作用する (有効応力回復)	○	

試験結果		液状化の判断
間隙水圧が上昇・蓄積する (95%)	○	繰返し軟化
有効応力がゼロまで低下する	×	
液体状となり流動する (ひずみ急増)	×	
ダイレイタンスー特性によりせん断抵抗が作用する (有効応力回復)	○	

図 2.1-17 液状化強度試験結果 (B-2-1 試料 (供試体 No. 1))

図 2.1-18 液状化強度試験結果 (B-2-1 試料 (供試体 No. 2))